

سنگ‌زایی، ژئوشیمی و نقش دگر‌شکلی در کنترل الگوی پراکندگی عناصر کانه‌ساز در کانسار سولفید توده‌ای غنی از طلای باریکا، خاور سردشت، سیندج – سیرجان شمالی

حسینعلی قاج الدین^۱، ابراهیم راستاد^{*}، عبدالجیاد یعقوب پور^۲ و محمد محلل^۱

^۱گروه زمین‌شناسی، دانشکده علوم پایه، دانشگاه تربیت مدرس، تهران، ایران

^۲گروه زمین‌شناسی، دانشگاه تربیت معلم، تهران، ایران

تاریخ پذیرش: ۱۳۸۹/۰۷/۰۶

تاریخ دریافت: ۱۳۸۸/۱۰/۲۶

چکیده

کانسار باریکا، اولین و تنها کانسار سولفید توده‌ای غنی از طلا (و نقره) گزارش شده در ایران است که در ۱۸ کیلومتری خاور شهر سردشت در شمال باخته پهنه دگرگونی سیندج-سیرجان قرار دارد. واحدهای سنگی رخنمون یافته در محدوده باریکا، مجموعه‌ای از سنگ‌های آتشفسانی-رسوبی زیردریایی دگرگون شده با سن کرتاسه پیشین، شامل سنگ‌های آندزیت-تراکی آندزیتی، متاتوفیت، فیلیت، اسلیت و کربنات هستند. سنگ‌های آتشفسانی دگرگون شده آندزیتی^۱، سنگ میزان کانسار است و هر دو بخش چینه‌سان و روزن استرینگ کانسار را در بردارد. کانسار باریکا و سنگ میزان آن، پس از تشکیل، متحمل دگرگونی ضعیف (در حد رخساره شیست سیز) و دگر‌شکلی شدید (میلولوگی) شده است. بخش چینه‌سان کانسار از نظر کانی‌شناسی نوع زیادی داشته و از پیریت، اسفالریت، گالان، استینیت، مجموعه‌ای از سولفوالالت‌ها و الکتروم تشکیل شده است. کانی‌شناسی رگه‌های سیلیسی زون استرینگ ساده بوده و شامل پیریت، گالان، اسفالریت، تراهدریت و مقادیر کمی کالکوپیریت است. عیار میانگین طلا و نقره در بخش چینه‌سان کانسار به ترتیب ۴/۲ و ۲۶٪ و ۲۲٪ گرم در تن و در رگه‌های سیلیسی زون استرینگ به ترتیب ۰/۷ و ۰/۶ گرم در تن اندازه‌گیری شده است. مجموع عیار فلزات پایه در کانسار باریکا همواره کمتر از ۱ درصد است. مطالعات سنگ-زمین ساختی و بررسی نمودارهای عنکبوتی عناصر کمیاب و عناصر خاکی کمیاب و نمودار نسبت‌های Nb/U و Ce/Pb مربوط به سنگ‌های آتشفسانی دگرگون شده منطقه باریکا، نشان می‌دهد که واحدهای آتشفسانی منطقه که سنگ میزان کانسار را نیز شامل می‌شود، از یک گوشته غنی شده (نسبت به مورب) در بالای یک زون فرورانش فراهم نمی‌شود و در قلمرو کمان قاره‌ای حاصل از فرورانش قرار دارند. مطالعات ژئوشیمیابی کانسار باریکا، حاکی از آن است که الگوی پراکندگی و همبستگی ژئوشیمیابی عناصر کانه‌ساز در بخش‌های مختلف کانسنگ چینه‌سان و رگه‌های سیلیسی زون استرینگ، با الگوی ژئوشیمیابی و کانی‌شناسی یک کانسار سولفید توده‌ای دگر‌شکل نشده، همخوانی دارد. شواهد ژئوشیمیابی حاکی از آن است که به رغم عملکرد دگرگونی ضعیف و دگر‌شکلی شدید بر روی کانسار باریکا، الگوی پراکندگی عناصر و نسبت‌های فلزی کانسار آتشفسانی زاد اولیه تا حد زیادی حفظ شده است، به گونه‌ای که ویژگی‌های ژئوشیمیابی کانسار باریکا، به مقدار زیادی با ویژگی‌های ژئوشیمیابی یک کانسار سولفید توده‌ای آتشفسانی زاد غنی از طلای دگر‌شکل نشده مطابقت دارد. شواهد بافتی آشکاری برای تحرک دوباره کانی‌های Ag، Pb، Bi و Sh همراه با طلا در محدوده کانسنگ‌های سولفیدی و باریکا وجود دارد، اما به نظر می‌رسد که فلزات تحرک دوباره یافته، فراتر از محدوده کانه‌دار اولیه حرکت نکرده‌اند.

کلیدواژه‌ها: سنگ‌زایی، ژئوشیمی، کانسار سولفید توده‌ای غنی از طلا، دگرگونی، دگر‌شکلی، کانسنگ سیاه کوروکو، باریکا، پهنه سیندج-سیرجان

*نوبنده مسئول: ابراهیم راستاد

E-mail: rastad@modares.ac.ir

-۱- مقدمه

کانسار باریکا، اولین و تنها کانسار سولفید توده‌ای غنی از طلا (و نقره) گزارش شده در ایران است که در ۱۸ کیلومتری خاور سردشت در شمال باخته پهنه دگرگونی سیندج-سیرجان قرار دارد. سیرجان قرار دارد. یار محمدی و یارمحمدی و همکاران (۱۳۸۴ و ۱۳۸۷)، کانسار باریکا را با ذخایر غنی از طلای Au-Zn-Pb-Ag (Large et al., 1989) و چند ذخیره تیپ کوروکو با سن میوسن در Hokuroko ژاپن (Huston., 2000)، قابل مقایسه دانسته‌اند.

در این پژوهش، ۱۱ نمونه از سنگ‌های آتشفسانی موجود در منطقه، به منظور مطالعات رفتار عناصر RE و کمیاب و شناسایی محیط زمین ساختی تشکیل مآگمای مولده، برداشت و به روش ICP-MS، در آزمایشگاه ALS کانادا تجزیه شدند (جدول ۱). افزون بر آن، تعداد ۱۰۴ نمونه از رگه‌های سیلیسی زون استرینگ و ۴۵ نمونه از بخش چینه‌سان کانسار، برداشت و برای عناصر Au, Ag, As, Sb, Hg, Te, Cu در آزمایشگاه‌های سازمان زمین‌شناسی و اکتشافاتمعدنی کشور، به روش‌های جذب اتمی و ICP-OES، تجزیه شدند. در این تحقیق، افزون بر بررسی محیط زمین ساختی حاکم در زمان شکل‌گیری کانسار سولفید توده‌ای باریکا، با استفاده از فراوانی و به کارگیری برخی از نسبت‌های ژئوشیمیابی عناصر کانه‌ساز در دو بخش چینه‌سان و رگه‌های سیلیسی زون استرینگ کانسار، منشأ احتمالی سیال کانه‌ساز و فلزهای موجود در آن، مشخصات فیزیکو‌شیمیابی و فرایندهای نهشت سیال کانه‌ساز، پیش‌بینی اندازه و پتانسیل فلزی کانسار و نیز

همانند بیشتر کانسارهای سولفید توده‌ای آتشفسانی زاد، کانسارهای سولفید توده‌ای غنی از طلا نیز از عدسی‌های سولفید توده‌ای تا تقریباً توده‌ای موادی تشکیل شده‌اند که بر روی مناطق تغذیه کننده استوک و رک، که در کمر پایین کانسار گسترش دارند، قرار گرفته‌اند. اختلاف بین کانسارهای سولفید توده‌ای غنی از طلا و دیگر کانسارهای VMS در غلظت طلای آنهاست. به گونه‌ای که در این دسته از کانسارها، مقدار طلا (بر حسب گرم در تن)، بیشتر از مجموع عیار Zn و Cu, Pb (Dube et al., 2007; Poulsen & Hannington, 1995) است (بر حسب درصد) از کانسارها، طلا فلز اصلی است. عناصر فلزی همراه با Bi, Ag, Cu, As, Sb, Hg, Zn Pb, Cu, Se (Dube et al., 2007) هستند.

در بیشتر کانسارهای سولفید توده‌ای غنی از طلا، Au یک همراهی فلززادی با Zn نشان می‌دهد. از این رو، در این دسته از کانسارها، Cu یا Zn (Huston & Large, 2000) در پژوهش (Huston et al., 1989) نیز مذکور شده است.

کانسارهای سولفید توده‌ای غنی از طلا را به دو گروه دسته‌بندی کرده‌اند: ۱) کانسارهای Au-Zn-Pb-Ag که در آنها Au در رأس و یا در طول حاشیه عدسی‌های سولفید توده‌ای یا در کلاهک باریتی تمرکز یافته است و ۲) کانسارهای Au-Cu که در آنها Au در قاعده عدسی‌های سولفید توده‌ای یا در زون استرینگ کانسار تمرکز یافته است. در تعداد کمی از کانسارها نیز، طلا در زون‌های پیریتی، که دارای مقادیر نسبتاً کمی از فلزات پایه است، تمرکز می‌یابد.

و رگچه‌های سیلیسی سولفیددار زون استرینگر، در طول‌های چند سانتی‌متر تا ده‌متر و با ستبراهای میلی‌متری تا حدود ۱ متر رخمنون دارند. عیار میانگین طلا و نقره در رگه‌های سیلیسی این بخش از کانسار به ترتیب ۰/۷ و ۳۲ گرم در تن اندازه‌گیری شده است (جدول ۲).

کانی شناسی رگه و رگچه‌های سیلیسی زون استرینگر، نسبت به کانسنگ سولفید توده‌های ساده و شامل پیریت، اسفالریت، گالان، تراهدریت و مقادیر کمی کالکوپیریت است. در محدوده گسترش رگه و رگچه‌های سیلیسی زون استرینگر، انواع دگرسانی‌های سریسیتی، کوارتز- سریسیت، سیلیسی، سولفیدی و کلریت مشاهده شده است (شکل ۱). معمولاً در زون‌های دگرسانی کوارتز - سریسیت، سیلیسی و سولفیدی اطراف رگه و رگچه‌های سیلیسی، کانی‌زایی سولفیدی (پیریت، گالان، اسفالریت و تراهدریت) نیز مشهود است. در جدول ۴، ویژگی‌های زمین‌شناسی، کانی‌شناسی و ژئوشیمیابی بخش‌های چینه‌سان و رگه‌های سیلیسی زون استرینگر آمده است.

۴- ماهیت و سری‌های ماقمایی سنگ‌های میزبان و آتشفسانی محدوده کانسار

سنگ میزبان کانسار باریکا (واحد K^{Mv1})، یک واحد گدازه‌ای دگرگون شده به رنگ سبز تا خاکستری روشن است که ترکیب آن در بخش‌های مختلف از آندزیت تراکی آندزیت متغیر است. این واحد از نظر ویژگی‌های ظاهری و ترکیب سنگ‌شناسی با واحد گدازه‌ای K^{Mv3} ، که بلندترین ارتفاعات منطقه را تشکیل می‌دهد، کاملاً مشابه است. این دو واحد، در رخساره شیست سبز دگرگون شده و در خارج از محدوده عملکرد پهنه برشی باریکا، فاپریک های ضعیفی از برگوارگی دگرگونی را نشان می‌دهند، اما غالباً بافت پورفیری آنها قابل تشخیص است. به منظور بررسی و مقایسه ژئوشیمی عناصر اصلی، فرعی و کمیاب واحدهای گدازه‌ای K^{Mv1} و K^{Mv3} و شناسایی موقعیت زمین ساختی تشکیل این سنگ‌ها، از رخمنون‌های کمتر دگرسان شده واحدهای K^{Mv1} و K^{Mv3} ۱۱ نمونه از واحد K^{Mv1} و ۵ نمونه از واحد K^{Mv2} برداشت شد و پس از آماده سازی، برای انجام تجزیه‌های شیمیابی عناصر اصلی، جزئی و کمیاب به روش ICP MS به آزمایشگاه ALS در کانادا، Winchester and Floyd (1977) ارسال شد (جدول ۱). بر اساس رده‌بندی شیمیابی (Irvine & Baragar, 1971) در محدوده کانسارهای قلایی قرار می‌گیرند (شکل ۳-د).

۵- محیط زمین ساختی و سنگ‌زایی سنگ‌های آتشفسانی

ترکیب شیمیابی سنگ‌های آتشفسانی منطقه باریکا عمدها در محدوده آندزیت و کمتر تراکی آندزیت قرار می‌گیرند (شکل ۳-الف و ب). در نمودارهای تغییرات عناصر قلایی بر حسب سیلیس، همه سنگ‌ها در قلمرو نیمه قلایی (شکل ۳-ج) و در نمودارهای AFM (Irvine & Baragar, 1971) در محدوده کلسیمی قلایی قرار (شکل ۴-ب).

نمودارهای عنکبوتی، از نمونه‌های سنگی منطقه که نسبت به شخانه (مثبوریت) کندریتی بهنجارسازی شده‌اند، نیز از غنی شدگی عناصر ناسازگار نسبت به عناصر سازگار حکایت دارند. بی‌هنجری مثبت Pb و Sr، بی‌هنجری منفی Ti, Nb و غنی شدگی از عناصر گروه LIL و REE نیز نشان می‌دهد که ماقمای مادر این

بررسی نقش دگرشکلی در کنترل الگوی پراکندگی عناصر کانه‌ساز مورد بحث قرار گرفته است.

۶- زمین‌شناسی کانسار

کانسار باریکا در شمال باخته پهنه سنتنچ - سیرجان و در زیر پهنه حاشیه‌ای آن (Mohajjel et al., 2003) قرار دارد. Azizi and Jahangiri (2008) سنگ‌های آتشفسانی رخمنون یافته در شمال Azizi and Moinevaziri (2009) باخته پهنه سنتنچ - سیرجان را به یک محیط کمان قاره‌ای با ماهیت کلسیمی - قلایی نسبت داده است که در زمان کرتاسه پیشین (Eftekhar-Nezhad, 2004) تشکیل شده‌اند.

واحدهای سنگی رخمنون یافته در محدوده باریکا، مجموعه‌ای از سنگ‌های آتشفسانی - رسوبی زیردریایی دگرگون شده با سن کرتاسه پیشین هستند که از سنگ‌های آتشفسانی دگرگون شده آندزیت - تراکی آندزیت، متابوتوفیت، فیلیت و اسلیت تشکیل شده‌اند. در محدوده کانسار باریکا، واحدهای آتشفسانی و توفی دگرگون شده، بیشترین گسترش را دارند. واحدهای آتشفسانی دگرگون شده، با مشخصات ظاهری و ترکیب سنگ‌شناسی مشابه، به صورت دو واحد گدازه‌ای K^{Mv1} و K^{Mv3} و یا به صورت بین لایه‌های گدازه‌ای (واحد K^{Mv2}) در واحد توفیتی رخمنون دارند (شکل ۱).

کانسار باریکا، یک کانسار سولفید توده‌ای غنی از طلا (و نقره) است که از دو بخش (الف) کانسنگ چینه‌سان (شکل ۲ و ب) کانسنگ رگه‌ای (زون استرینگر) تشکیل شده است. واحد آندزیتی K^{Mv1} ، به عنوان قدیمی‌ترین واحد گدازه‌ای رخمنون یافته در محدوده، سنگ میزبان این کانسار است و به طور کامل هر دو بخش چینه‌سان و زون استرینگر کانسار را در بردارد. کانسار باریکا و سنگ میزبان آن، بعد از تشکیل متحمل دگرگونی (در حد رخساره شیست سبز) و متعاقباً تحت تأثیر عملکرد پهنه برشی، با راستای شمال باخته - جنوب خاور قرار گرفته و به شدت دگرشکل شده است (شکل ۱). شکل هندسی، شدت و روند پهنه برشی، توسط هندسه، شدت و روند پهنه دگرسانی گرمابی، که در زمان تشکیل کانسار سولفید توده‌ای تشکیل شده، کنترل شده است (تاج الدین و همکاران، ۱۳۸۸)، به گونه‌ای که گستره عملکرد پهنه برشی، به طور کامل با گستره کانسار باریکا و زون دگرسانی میزبان آن منطبق است و بیشترین شدت دگرشکلی بر کانسار باریکا (بخش چینه‌سان) همخوانی دارد.

۷- کانی‌سازی

بخش چینه‌سان کانسار، شامل کانسنگ‌های سولفید و باریت توده‌ای - نواری همراه با بخش‌های فرعی از نوارهای سیلیسی است که در مجموع در طول افزون بر ۱۵۰ و سمترا بر ۲۰ - ۱ متر رخمنون دارند (شکل ۲). عیار میانگین طلا و نقره در بخش‌های مختلف این بخش از کانسار به ترتیب ۴/۲ و ۲۶۰ گرم در تن اندازه‌گیری شده است (جدول ۲). کانه‌های تشکیل دهنده بخش‌های مختلف کانسنگ چینه‌سان، تنوع زیادی دارند و شامل پیریت، اسفالریت، گالان، استیب نیت، الکتروم و انواعی از کانه‌های سولفوسالت شامل تراهدریت - تاتنیت، استفانیت، پیرارژیریت، ترچمنیت، اسمایتیت، میارژیریت، آندوریت، ژئوکرونیت، سلیگمانیت، گوتارادیت و یک کانی ناشناخته با فرمول $Ag2Pb4As4Sb4S17$ است. ترکیب متوسط کانی‌های سولفوسالت موجود در کانسنگ چینه‌سان در جدول ۳ آمده است.

بخش کانسنگ رگه‌ای یا زون استرینگر، از رگه و رگچه‌های سیلیسی سولفیدار با ساختار استوک و روك تشکیل شده است. این بخش از کانسار در محدوده‌ای به طول افزون بر ۲ کیلومتر و پهنهای ۵۰۰ - ۱۰۰ متر با راستای شمال باخته - جنوب، جنوب خاور در کمر پایین کانسنگ چینه‌سان رخ داده است (شکل ۱). رگه

خلاصه‌ای از ویژگی‌های زمین‌شناسی و کانه‌زایی بخش‌های مختلف کانسار باریکا آمده است. میانگین طلا و نقره در بخش‌های مختلف کانسنگ چینه‌سان باریکا به ترتیب $4/2$ و 260 گرم در تن اندازه‌گیری شده است (جدول ۲) که گویای اهمیت اقتصادی این بخش از کانسار است.

در جدول ۵، ضرایب همبستگی عناصر، به روش اسپیرمن و در سطح اعتماد بیشتر از 95 درصد آمده است. در این جدول، طلا با نقره بیشترین همبستگی مثبت ($0/92$) را نشان می‌دهد و با عناصر جیوه، مس، آنتیموان و آرسنیک نیز همبستگی مثبت قابل توجهی ($0/43$) دارد. بر اساس این جدول، نقره با طلا و آنتیموان همبستگی خیلی بالا (به ترتیب $0/92$ و $0/8$) و با مس، آرسنیک و جیوه همبستگی قابل توجهی خیلی بالا (به ترتیب $0/42$) دارد.

۶- ژئوشیمی بخش استوک ورک (رگه‌های سیلیسی زون استرینگ)

به منظور بررسی ویژگی‌های ژئوشیمیابی رگه‌های سیلیسی زون استرینگ، از میان 122 نمونه برداشت شده از رگه‌های سیلیسی این زون، نتایج تجزیه $10/4$ نمونه، که دارای مقدار طلای بالاتر از $1/0$ گرم در تن بودند، مورد استفاده قرار گرفت. تمامی این رگه‌ها در واحد آتشفشاری دگرگون شده آندزیتی (K^{Mv}) (دگرانشده، رخ داده‌اند).

عملکرد پنهان برشی باریکا بر روی زون استرینگ، با چین خوردگی، بودین شدگی، ایجاد شکستگی در رگه‌های سیلیسی زون استرینگ همراه شده است. اگرچه در اغلب موارد، رگه‌های سیلیسی زون استرینگ، به موازات برگوارگی غالب در منطقه (D2)، هم راستاً مستند و با رگه‌های سیلیسی مرتبط با پنهانه‌های برشی شاهت زیادی دارند، اما نتایج بررسی‌های ژئوشیمی و پاراژنتر کانه‌ها، تشکیل این رگه‌ها را برخلاف پنهانه‌های برشی در ارتباط ندانسته، بلکه آنها را از نظر زایشی با کانسار سولفید توده‌ای باریکا مرتبط می‌داند (تاج الدین و همکاران، ۱۳۸۸).

در جدول ۶ ضرایب همبستگی عناصر موجود در رگه‌های سیلیسی زون استرینگ، به روش اسپیرمن و در سطح اعتماد بیشتر از 95 درصد، نسبت به یکدیگر محاسبه شده است. همان‌گونه که در جدول ملاحظه می‌شود، فلزات پایه (سرب، رومی و مس)، نقره و آنتیموان همبستگی مثبت بالایی با یکدیگر نشان می‌دهند ($0/69$)، در حالی که طلا تنها با آرسنیک همبستگی مثبت قابل توجهی ($0/57$) دارد.

در شکل ۶، نمودارهای مربوط به همبستگی دو عنصر طلا و نقره با دیگر عناصر کانه‌ساز در دو بخش چینه‌سان و زون استرینگ آمده است و در شکل‌های 7 و 8 فراوانی عناصر طلا و نقره در دو بخش چینه‌سان و زون استرینگ با یکدیگر مقایسه شده است.

فراوانی عناصر فلزی در کانسار باریکا (جدول ۲ و ۴)، نشان می‌دهد که تنها بخش چینه‌سان کانسار، از نظر طلا و نقره اهمیت اقتصادی دارد و بخش رگه‌های سیلیسی زون استرینگ، از نظر پتانسیل اقتصادی طلا، نقره و یا فلزات پایه، اقتصادی نیستند. بر اساس نمودار سه‌تایی فلزات پایه، طلا و نقره (Hannington et al., 1999) کانسار باریکا در محدوده کانسارهای طلا قرار می‌گیرد (شکل ۹).

- کنترل کننده‌های اولیه در پراکندگی و همبستگی عناصر کانه‌ساز کانسار باریکا

تلغیق مطالعات کانه‌نگاری و ژئوشیمی نمونه‌های برداشت شده از بخش‌های مختلف (رگه‌های سیلیسی زون استرینگ و بخش کانسنگ چینه‌سان) کانسار باریکا، حاکی از آن است که روابط همبستگی و پراکندگی ژئوشیمیابی عناصر کانه‌ساز، توسط پاراژنتر کانه‌ای کانسنگ‌ها کنترل می‌شود، به گونه‌ای که با تغییر شرایط نهشت سیال کانه‌ساز از محیط رگه‌های سیلیسی زون استرینگ به محیط روی کف دریا (بخش چینه‌سان) تغییر محسوسی در پاراژنتر کانه‌ها و نیز در پراکندگی عناصر ایجاد شده است.

ترکیب کانی شناختی رگه‌های سیلیسی زون استرینگ شامل گالن، پیریت، اسفالریت، تراهدریت - تنانیت و \pm کالکوپیریت است. همبستگی بالای فلزات پایه

سنگ‌ها از یک گوشته غنی‌شده (نسبت به گوشته مورب) در بالای یک زون فروزانش منشأ گرفته است. بی‌هنجاری منفی Ti و Nb، که معرف مناطق فروزانش است، می‌تواند نشانه‌ای از سیال‌های آزاد شده از یک پوسته اقیانوسی فروزانده باشد که ذوب بخشی گوشته پریدوتی و تشکیل ماغمای آندزیتی را امکان پذیر کرده است. شبیه زیاد منحنی‌ها و بی‌هنجاری منفی P معرف آهنگ ذوب پایین است (معین‌وزیری و همکاران، ۱۳۸۷).

با توجه به اینکه در نمودارهای عنکبوتی عناصر گروه REE (شکل ۴ ج و د) یک روند نزولی تدریجی از گروه LREE (سمت چپ) به سمت گروه HREE (سمت راست نمودار) دارند و نمونه‌ها به طور نسبی از این عناصر، غنی‌شدگی نشان می‌دهند (35 الی 60 برابر کناریت‌ها). بر اساس کارهای تجربی انجام شده (Bernan et al., 1995; Keppler, 1996; Ayers, 1998) یک فاز سیال آزاد شده از پوسته اقیانوسی فروزو، می‌تواند باعث این غنی‌شدگی از عناصر LILE شده باشد. در مورد سنگ‌های آتشفشاری منطقه، این فاز سیال ممکن است ناشی از آبدهی پوسته اقیانوسی نوتیس در طول یک دوره فروزانش به زیر سنترج - سیرجان در کرتاسه باشد.

نمودارهای U/Nb و Ce/Pb نیز می‌توانند در دستیابی به اطلاعات سنگ‌زایی کمک کنند. به گونه‌ای که نسبت پایین Ce/Pb و U/Nb در این سنگ‌ها در مقایسه با OIB و MORB، وابستگی این سنگ‌ها با محیط‌های فروزانش را نشان می‌دهد (شکل‌های ۵ - الف و ب). همچنان که نسبت‌های Th/Pb, Ba/Rb و Nb/U در این سنگ‌ها به طور قابل ملاحظه‌ای از میانگین پوسته قاره‌ای (Rudnik and Fountain, 1995; Taylor and McClenan, 1985) بازالت‌های اقیانوسی با منشأ گوشته‌ای مورب (Hofmann, 1988) کمتر هستند و با کمان‌های آتشفشاری همخوانی بیشتری دارند.

بر اساس نمودار تغییرات نسبت Th/Yb در برابر Nd/Yb در قلمرو کمان‌های قاره‌ای آتشفشاری حاصل از فروزانش قرار می‌گیرند و در نمودار منطقه در قلمرو کمان‌های قاره‌ای (Pearce and Cann, 1973) تمامی سنگ‌های منطقه در قلمرو حاشیه مخرب قرار گرفته‌اند (شکل ۵)

۶- ژئوشیمی کانسار باریکا

به منظور بررسی رفتار ژئوشیمیابی طلا، فلزات پایه و برخی از عناصر کمیاب $10/4$ نمونه از رگه‌های سیلیسی زون استرینگ و 45 نمونه از بخش چینه‌سان کانسار، برداشت و برای عناصر Au, Ag, As, Sb, Hg, Te, Tl, Mo, W, Sn, Pb, Zn, Cu، به روش‌های جذب اتمی و ICP در آزمایشگاه‌های سازمان زمین‌شناسی و اکتشافات معدنی کشور تجزیه شدن. نمونه‌ها به روش لب پری و با وزن $1-3$ کیلوگرم برداشت شده‌اند. در جدول ۲ ویژگی‌های آماری عناصر کانه‌ساز در بخش‌های مختلف کانسار باریکا آمده است. در این بخش از مقاله، فراوانی و برخی از نسبت‌های ژئوشیمیابی عناصر کانه‌ساز در توده معدنی چینه‌سان و در رگه‌های سیلیسی زون استرینگ مطالعه شده است. به کارگیری نسبت‌های Ag/Au , $Zn/(Zn+Pb)$, Cu/Zn و $Sn/Bi, Te, In$ اطلاعات ارزشمندی را در رابطه با نوع کانی‌سازی، منشأ احتمالی سیال کانه‌ساز و فلزات، مشخصات فیزیکو‌شمیابی سیال کانه‌ساز و پیش‌بینی اندازه و پتانسیل فلزی کانسار به دست می‌دهد. افزون براین، در این تحقیق سعی شده با استفاده از برخی نسبت‌ها و روابط ژئوشیمیابی عناصر، نقش دگرگشکلی در کنترل الگوی پراکندگی عناصر کانه‌ساز مورد بررسی قرار گیرد.

۶- ژئوشیمی عناصر کانه‌ساز در کانسار باریکا

الف) ژئوشیمی بخش کانسنگ چینه‌سان

45 نمونه از بخش‌های مختلف کانسنگ چینه‌سان (سولفید، باریت و سیلیس) برداشت و تجزیه شدن. در جدول ۲، برخی از پارامترهای آماری نمونه‌ها و در جدول ۴،

۶-۲-۶. مقادیر و نسبت‌های فلزات پایه، گرانبها و کمیاب در کانسار باریکا

مقدار فلزی که از یک سیال گرمابی نهشته می‌شود به فرایندهای نهشت، مقدار تمرکز فلز در سیال و عواملی دیگر بستگی دارد (Ohmoto, 1996 and Ohmoto et al., 1983). به کارگیری نسبت Cu/Zn روی ($100\text{Zn}/(\text{Zn}+\text{Pb})$)، نسبت Ag/Au و فراوانی عناصری مانند In ، Bi ، Co ، Te ، Sn اطلاعات ارزشمندی در رابطه با نوع کانی‌سازی و منشأ احتمالی سیال کانه‌ساز و فلزات موجود در کانسار به دست می‌دهد. در اینجا، کانسار باریکا از نظر مقادیر و نسبت‌های عناصر فلزات پایه، گرانبها و کمیاب مورد بررسی قرار می‌گیرد:

- نسبت Au/Ag

نسبت میانگین Ag/Au در بیشتر کانسارهای سولفید تودهای آتشفشن زاد حدود ۱/۶ است (Ohmoto, 1996). این نسبت برای یک کانسنگ سیاه بسیار متفاوت و از کمتر از ۱/۱۰۰۰ تا حدود ۱/۱۰ متغیر است (Ohmoto, 1996). نسبت Au/Ag در بیشتر کانسارهای سولفید تودهای آتشفشن زاد، مشابه است و مقدار آن به مراتب پایین تر از نسبت‌های معروفی شده برای کانسارهای شاخص کوهزایی $\text{Au}/\text{Ag} > 5$: Robert et al., 2007) است. نسبت $\text{Au}/\text{Ag} > 5$ به ترتیب $0/0.06$ و در رگه‌های سیلیسی زون استرینگر $0/0.23$ است (جدول ۴) که کاملاً با نسبت Au/Ag در یک کانسار سولفید تودهای دگر‌شکل نشده متشابه است. نسبت پایین Au/Ag در رگه‌های سیلیسی زون استرینگر، که بیشتر آنها به صورت موازی تانیم موادی نسبت به برگوارگی جهت یافته شده‌اند، این فرض را که بخشی از رگه‌های سیلیسی مذکور در اثر نهشت سیال‌های حاصل از کوهزایی در پهنه برشی باریکا تشکیل شده باشند (یعنی تشکیل رگه‌های سیلیسی طلدار تیپ کوهزایی) را منتفی می‌سازد. گرچه عملکرد پهنه برشی باریکا، به دگر‌شکلی شدید (بیشتر شکل پذیر) بخش چینه‌سان و رگه‌های سیلیسی زون استرینگر منجر شده است، اما در نسبت Au/Ag و به عبارت دیگر در محتوای طلا و نقره اولیه موجود در سامانه کانه‌زایی سولفید تودهای باریکا، تغییری ایجاد نکرده است.

- نسبت Cu/Zn

کانسارهای کوروکو بر اساس نوع کانسنگ و نسبت Cu/Zn به سه تیپ دسته‌بندی شده است (Horikoshi & Shikazono, 1978): ۱) تیپ کانسنگ سیاه، که عمدتاً از کانسنگ سیاه تشکیل است. در این نوع از کانسنگ‌ها، نسبت Cu/Zn کمتر از حدود ۰/۳ است، ۲) تیپ کانسنگ ترکیبی، که از کانسنگ‌های زرد و سیاه با زون‌بندی خوب و نسبت‌های Cu/Zn بین حدود ۰/۳ تا حدود ۰/۵ تیپ کانسنگ زرد، که به واسطه وجود یک کانسنگ پیریتی خوب توسعه یافته (کانسنگ پیریت <> کانسنگ زرد) و یک نسبت مقدار Cu/Zn بزرگ‌تر از حدود ۰/۵، از دو تیپ پیشین تمایز است. این تقسیم‌بندی بر این اصل استوار است که عموماً سیال‌های با دمای بالاتر نسبت به سیال‌های با دمای کمتر، دارای نسبت‌های بالاتر Cu/Zn هستند (Ohmoto, 1996).

در کانسار باریکا نسبت مقدار Cu/Zn ، برای کانسنگ‌های باریتی و سولفیدی، ۰/۲۹ است که در محدوده کانسنگ‌های سیاه واقع می‌شود. با توجه به نسبت پایین Cu/Zn (کمتر از ۰/۳)، کانسار باریکا یک کانسار سولفید تودهای از نوع کوروکو است که در آن تنها بخش کانسنگی سیاه تشکیل شده است و قادر بخش‌های کانسنگی زرد و پیریتی است.

بر اساس (1983) و Ohmoto et al. (1996)، درجه تکامل، تیپ و اندازه یک کانسار سولفید تودهای معدنی، به فاصله نسی کانسار از منشأ گرمابستگی دارد. با افزایش فاصله از منشأ گرماء، تیپ کانسار از ترکیبی به ساده تغییر می‌یابد و کانسار کوچک‌تر می‌شود، همین طور با فاصله گرفتن از منشأ گرماء، نسبت Cu/Zn نیز در کانسارها کاهش می‌یابد. این تغییرات این حقیقت را آشکار می‌سازد که هم دما و

در این رگه‌ها، به علت همراهی گالن، اسفالریت و تراهدریت ± تاناتیت است، که با نسبت‌های تقریباً مشابه، در رگه‌های سیلیسی حضور دارند. کالکوپیریت کمیاب بوده و به صورت میانبارهای کوچک در اسفالریت مشاهده شده است، از این رو فراوانی مس (و آرسنیک - آرنسیوان) غالباً توسط تراهدریت $\text{Cu}_{12}\text{Sb}_4\text{S}_{13}$ و تاناتیت $\text{Cu}_{12}\text{As}_4\text{S}_{13}$ کترول می‌شود. از آنجا که فراوانی دو عنصر مس و آرنسیوان غالباً توسط یک کانی مشابه (تراهدریت) کترول می‌شود، بنابراین، این دو، همبستگی مثبت بالایی (۰/۹۷) نشان می‌دهند.

بر اساس مطالعات الکترون میکروپریوب، نقره با فراوانی ۴/۲ - ۳/۶ درصد در کانه‌های تراهدریت وجود دارد. یارمحمدی و همکاران (۱۳۸۴)، مقدار نقره موجود در تراهدریت را تا بیش از ۱۰ درصد نیز گزارش کرده است. از این رو، بخش عمده نقره موجود در کانسنگ سیلیسی زون استرینگر، در تراهدریت تمرکز یافته است. کترول فراوانی نقره، در همراهی با آرنسیوان و مس، توسط تراهدریت، همبستگی بالای نقره با مس و آرنسیوان (به ترتیب ۰/۷۶ و ۰/۷۸) را موجب شده است. یادآوری می‌شود، فراوانی روی و سرب منحصرًا توسط کانه‌های اسفالریت و گالن، که در تمام رگه‌ها با تراهدریت حضور دارند، کترول می‌شود. همبستگی بالای طلا با آرسنیک (۰/۵۷)، حضور طلا در همراهی با پیریت‌های آرسنیک دار را محتمل می‌سازد، به گونه‌ای که بر اساس داده‌های الکترون میکروپریوب، مقدار طلا و آرسنیک در پیریت‌های آرسنیک دار به ترتیب تا ۲۰۰۰ و ۱۵۰۰ گرم در تن اندازه گیری شده است.

با تغییر محیط نهشت سیال در سنگ میزان آندزیتی (تشکیل رگه‌های سیلیسی زون استرینگر)، به محیط نهشت بر روی بستر دریا (تشکیل کانسنگ چینه‌سان)، تغییرات قابل توجهی در پاراژنر کانه‌های تشکیل شده در دو بخش زون استرینگر و چینه‌سان کانسار رخ داده است که در نهایت به تغییر در فراوانی و روابط همبستگی ژئوشیمیابی عناصر کانه‌ساز در آنها منجر شده است. همبستگی مثبت بالای فلزات پایه ($\text{Cu}, \text{Pb}, \text{Zn}$) به نحو چشمگیری از $\geq 0/۹$ (در رگه‌های سیلیسی زون استرینگر) به $\leq 0/۶۵$ (در بخش چینه‌سان) کاهش می‌یابد. علت این کاهش، آمیختگی نسبت‌های بالای آب دریا با سیال‌های گرمابی است که به کاهش سریع دما و تشکیل طیف وسیعی از کانه‌های سولفوسالی منجر شده است. یک زون‌بندی ضعیف کانی شناسی - ژئوشیمیابی (جدول ۴) در بخش چینه‌سان (کانسنگ سیاه) می‌باشد که نسبت‌های متفاوتی از کانه‌های سولفوسالی سرب، آرنسیوان، مس و آرسنیک دار (مانند تراهدریت - تاناتیت، استفانیت، پیراژیریت، ترچمنیت، اسمایتیت و ...) را دربردارند. در بخش چینه‌سان کانسار، کترول فراوانی هر یک از فلزات پایه از سیستم تک کانه‌ای در زون استرینگر (گالن، اسفالریت و تراهدریت - تاناتیت) به سیستم چند کانه‌ای (گالن، اسفالریت، استینینت و دیگر سولفوسالت‌ها) تغییر می‌یابد که به خودی خود به کاهش همبستگی عناصر فلزات پایه در بخش چینه‌سان منجر شده است.

در بخش چینه‌سان کانسار باریکا، بیشترین همبستگی مثبت (۰/۹۲)، بین طلا و نقره و در درجه بعد بین نقره و آرنسیوان (۰/۸) وجود دارد. طلا با مس، جیوه، آرنسیوان و آرسنیک نیز همبستگی مثبت بالاتر از $0/۴۳$ را نشان می‌دهد (جدول ۵). علت همبستگی بالای طلا با عناصر ذکر شده، به علت نهشت طلا در همراهی نزدیک با سولفوسالت‌های $\text{Pb}, \text{As}, \text{Sb}, \text{Cu}$ (تراهدریت - تاناتیت، بورونوئیت، بولانزیریت، جیمسونیت و ...) و رخداد سیناوار است که همگی در اثر فرایند آمیختگی سیال‌های کانه‌دار با آب دریا، که به رقیق شدن گری سیال و اکسایش H_2S به سولفات‌ها (تشکیل باریت) منجر شده است، تشکیل شده‌اند. نهشت همزمان طلا (در داخل پیریت) و سولفوسالت‌ها (به عنوان کانه‌های اصلی حمل کننده نقره)، دلیل اصلی همبستگی مثبت بالای طلا و نقره در کانسار باریکا است.

قابل توضیح باشد. نسبت پایین روی در کانسار باریکا، حاکی از آن است که سیال کانه ساز باریکا از نظر روی و سرب تحت اشیاع بوده است، بنابراین چنین سیالی ماهیتاً نمی توانسته پتانسیل قابل توجهی از کانه زایی روی و سرب ایجاد کند، به گونه ای که مجموع میانگین مقادیر روی و سرب در بخش های مختلف کانسار باریکا، همواره کمتر از ۰/۵ درصد است (جدول ۲).

۷- رُؤشیمی عناصر کمیاب

(Franklin et al. 2005) فراوانی و رفتار رُؤشیمیابی فلزات سیال های کانه ساز در سیستم های سولفید توده ای فعال بستر دریا را به خوبی بررسی کردند. اساساً دو منشأ برای فلزات موجود در این دسته کانسارها در نظر گرفته شده است. بر اساس مدل اول، اعتقاد بر این است که فلز در یک زون واکنشی دما بالا، در ژرفایی بیشتر از ۱ کیلومتر از درون چننه های کمر پایین کانسارهای VMS منشأ گرفته است. در این مدل فلزات و گوگرد در اثر واکنش آب دریای داغ از سنگ مشتق شده اند. مدل دوم منشأ تمام یا بخشی از فلزات و گوگرد موجود در کانسارها را بر اثر شرکت مستقیم مانگما در طی فرابند فراز ارزدایی (devolatilization) (به شمار می آورد).

(Yang & Scott 2003) معتقدند که فلزات می توانند مستقیماً از سیال ایجاد شده با منشأ مانگماهی سرچشمه بگیرند و حتی بخش کوچکی از سیال مانگماهی غنی از فلز می تواند به طور قابل ملاحظه ای بودجه فلز موجود در سیستم های گرمایی زیر کف دریا را افزایش دهد.

بر اساس (Hannington et al. 1999) و (Large et al. 2001) در کانسارهای VMS غنی از طلا، غنی شدگی کانسار از عناصر In, Sn, Co, Bi, Te, In وجود یک منشأ مانگماهی در تأمین فلزات و طلا است. با توجه به جداول ۲ و ۴، مقدار عناصر مذکور در کانسار باریکا، در هر دو بخش چننه سان و استرینگر، به اندازه ای پایین است که نقش مستقیم مانگما در تأمین فلزات موجود در سیال های کانه ساز را متنفی می سازد.

۸- زون بندی کانی شناسی و عنصری کانسار

زون بندی کانی شناسی و عنصری در کانسار باریکا در دو بخش (الف) کانسنسنگ توده ای و نواری (ب) رگه های سیلیسی زون استرینگر قابل بررسی است.

(الف) زون بندی کانی شناسی و عنصری در بخش کانسنسنگ توده ای و نواری: کانسار باریکا یک کانسار سولفید توده ای است که پس از تشکیل دگرگون و دگر شکل شده است. در اثر دگر شکلی بخشی از کانی های سولفوسالت و طلا تحرک دواباره حاصل گردد و در فضاهای شکستگی ها (در نوارهای سیلیسی) و برگوارگی ها (در بخش های سولفیدی و باریتی) تمرکز دواباره یافته است (شکل ۱۱)، گرچه الگوی پراکندگی عناصر و نسبت های فلزی کانسار آتشفشنان زاد اولیه تا حدود زیادی حفظ شده است و ظاهراً مواد دواباره تحرک یافته کانه ها فراتر از حاشیه های گستره کانه زایی اولیه حرکت نکرده اند. از آنجا که کانسار باریکا، فاقد بخش های کانسنسنگی زرد و پیری است، بنابراین در این کانسار، وجود یک زون بندی کامل کانی شناسی و عنصری، که در یک کانسار تیپ کورو کو تکامل یافته وجود دارد، را نمی توان انتظار داشت. در جدول ۴، مشخصات کانی شناسی و پراکندگی عنصری بخش های مختلف کانسار باریکا آمده است. همان گونه که در جدول ۴ نشان داده شده است، در انواع مختلف کانسنسنگ های بخش چننه سان کانسار باریکا، یک تمایز آشکار از کانه ها و عناصر کانه ساز وجود دارد.

(ب) زون بندی کانی شناسی و عنصری در بخش رگه های سیلیسی زون استرینگر: عملکرد فرابند دگر شکلی بر روی رگه های سیلیسی زون استرینگر اغلب با دگر شکلی شکل پذیر رگه های سیلیسی به صورت بودین شدگی، چین خوردگی و جهت یافته کی به موازات برگوارگی های حاصل از فاز اصلی دگر شکلی (D2) همراه است. به ندرت

هم مقدار کل سیال های تخلیه شده در هر دو مرحله از فعالیت های گرمایی عموماً با افزایش فاصله از منشأ گرما کاهش خواهد یافت.

به طور کلی سیال های داغ تر، که نسبت بالاتری از Cu/Zn را دارا هستند، می توانند فلزات بیشتری را به محل نهشت انتقال دهند (یعنی تشکیل توده های کانسنسنگ بزرگ تر) و قادرند کانه هایی که قبل از تشکیل شده را حل کرده و در تغییر کانسنسنگ سیاه \leftrightarrow کانسنسنگ زرد \leftrightarrow کانسنسنگ پیریتی مؤثر باشند. در حالی که، کانسار هایی که دورتر از منشأ گرما هستند، اندازه کوچک تر دارند و از نوع کانسنسنگ سیاه هستند.

نسبت پایین Cu/Zn در کانسار باریکا (۰/۲۹)، آشکار می سازد که سیال کانه ساز کانسنسنگ سیاه را به جای بگذارد و دمای سیال (سیال های) کانه ساز به اندازه ای نبوده که در طی فرایند زون پالایش (zone refining) امکان تشكیل کانی های مس دار (کالکوپریت، بورنیت) به صورت محصولات جانشینی کانی های کانسنسنگ سیاه (اسفالریت، گالن، تراهادریت، باریت، پیریت) را فراهم آورد. از سوی دیگر، نسبت پایین Cu/Zn، به کوچک بودن کانسار باریکا، که در فاصله دور از منشأ حرارتی تشکیل شده است، اشاره دارد.

۱۰۰Zn(Zn+Pb)

نسبت ۱۰۰Zn(Zn+Pb)، که به عنوان نسبت روی ییان می شود، به طور قابل ملاحظه ای در نمونه های کانسارهای آتشفشنان زاد سولفید توده ای فائز و زوییک سراسر جهان مشابه است و دامنه بسیار محدودی را نشان می دهد (Hutson & Large, 1987). نسبت روی برای کانسارهای سولفید توده ای موجود در سنگ های آتشفشنانی Mount Read استرالیا، ۶۰-۷۷ است، در حالی که این نسبت در انواع دیگر کانی سازی، دامنه ای وسیع تر، اما در مقادیر پایین تر از مقادیر میانه (۳۹-۶۱) (Huston & Large, 1987). تغییرات این نسبت، می توانند اطلاعات جدیدی درباره منشأ فلزات، سازوکار انتقال، یا شرایط نهشت فلز برای سیستم کانی سازی مورد نظر را به دست دهد.

محاسبات ترموشیمیابی بر روی محلول های اشیاع شده سرب و روی نشان می دهد که نسبت روی با دما و درجه شوری کنترل می شود و با pH , fO_2 و فعالیت گوگرد محلول بستگی ندارد (Huston & Large, 1987). به منظور محاسبه نسبت روی در کانسار باریکا داده های Zn-Pb برای ۱۴۷ نموده که از چهار نوع کانسنسنگ برداشت شده اند، مطالعه شدند. این چهار دسته کانسنسنگ شامل موارد زیر هستند:

۱) رگه های سیلیسی زون استرینگر (۱۰۴ نمونه)، ۲) سولفید توده ای - نیمه توده ای، ۳) عمدتاً پیریت (۱۸ نمونه)، ۴) باریت توده ای (۱۸ نمونه) و ۴) نوارهای سیلیسی موجود در زون سولفیدی (۷ نمونه).

همان گونه که در شکل ۱۰ و جدول ۴ مشاهده می شود، نسبت روی برای بخش های مختلف کانسنسنگ های سولفیدی، باریتی و سیلیسی، که به صورت چننه سان در کف دریای باریکانه شده اند در یک دامنه وسیع (۳۳-۶۳) متغیر است. این نسبت برای نمونه های برداشت شده از رگه های سیلیسی زون استرینگر نیز در دامنه (۱۴-۷۷) تغییر می کند. میانگین این نسبت در دو بخش چننه سان (سولفید و باریت توده ای و نوارهای سیلیسی) و رگه های سیلیسی زون استرینگر به ترتیب ۴۷ و ۴۲ است که نسبت به مقادیر میانگین گزارش شده برای بیشتر کانسارهای آتشفشنان زاد سولفید توده ای فائز و زوییک جهان (Huston & Large, 1987)، به مقدار قابل ملاحظه پایین تر بوده و در دامنه وسیع تری متغیر است.

نسبت روی در دامنه ۶۰-۷۷، برای کانسارهای سولفید توده ای آتشفشنان زاد، با این فرض تعییر شده است که روی و سرب در محلول های گرمایی به صورت کمپلکس های کلریدی اشباع شده اند (Huston & Large, 1987). اختلافات مشاهده شده در این نسبت ممکن است به علت عدم اشباع شدگی روی و سرب، تغییرات شوری و / یا دمای محلول، وجود کمپلکس های مختلف در سیال های گرمایی

عنصری قابل توجهی در کانسار باریکا ایجاد کند. به رغم عملکرد دگرشکلی شدید بر روی کانسار باریکا، ترکیب پاراژنر کانه‌ای و عنصری در دو بخش زون استرینگر و چینه‌سان کانسار، به قدری با کانسارهای مشابه دگرشکل نشده قابل اطباق است که بر اساس آن می‌توان به مشخصات فیزیکوشیمیابی سیال کانه‌ساز و چگونگی فرایند نهشت کانه‌ها پی برد. بر این اساس، سیال کانه‌ساز کانسار باریکا، یک سیال کم دما (کمتر از ۲۰۰ درجه) با شوری پایین بوده است که در اثر آمیختگی با آب دریا، به صورت کاسنستگ سیاه نوع کوروکو تشکیل شده است (تاج‌الدین و همکاران، ۱۳۸۸). این سیال غنی از طلا، فقیر از مس و تحت اشباع از سرب و روی بوده است. لازم به یادآوری است که ارزیابی ماهیت فیزیکوشیمیابی سیال کانه‌ساز باریکا، که بر اساس ویژگی‌های ژئوشیمیابی و پاراژنر کانه‌ای کانسار انجام شده است، با شواهد صحرابی و مطالعات میکروترموتری سیال‌های درگیر، همخوانی کامل دارد (تاج‌الدین و همکاران، ۱۳۸۸).

۲- نسبت Au/Ag در بخش‌های مختلف کانسار باریکا، مشابه با نسبت‌های ارائه شده برای کانسارهای سولفید توده‌ای آتشفسان زاد بوده و کاملاً با مقدار این نسبت برای کانسارهای تیپ کوهزایی (بزرگ‌تر از ۵٪) متفاوت است. نسبت Au/Ag در کاسنستگ سولفیدی و باریتی (کاسنستگ سیاه) باریکا، به ترتیب ۰/۰۰۶ و ۰/۰۱۹ و در رگه‌های سیلیسی زون استرینگر ۰/۰۲۳ است (جدول ۴). وجود نسبت پایین Au/Ag در رگه‌های سیلیسی زون استرینگر، این فرض را که بخشی از رگه‌های سیلیسی، در اثر نهشت سیال‌های دگرگون زاد در پهنه برشی باریکا حاصل شده باشند (یعنی تشکیل رگه‌های سیلیسی طلادر تیپ کوهزایی) را متنفسی می‌سازد. اگرچه اغلب رگه‌های سیلیسی زون استرینگر شدیداً دگرشکل شده‌اند، اما پاراژنر کانه‌ای و نسبت Au/Ag این رگه‌ها، کاملاً با رگه‌های سیلیسی تشکیل شده در زون استرینگر یک کانسار سولفید توده‌ای، منطبق است.

۱۰- نتیجه‌گیری

براساس نتایج حاصل از تجزیه سنگ‌ها، سنگ‌های آتشفسانی منطقه باریکا عمده‌تا در محدوده آندزیت و کمتر تراکی آندزیت قرار می‌گیرند و مگماهی مادر این سنگ‌ها از یک گوشته غنی شده (نسبت به گوشته مورب) در بالای یک زون فرورانش منشاء‌گرفته است. بر اساس نمودار تغیرات نسبت Yb/Nd بر حسب Th/Yb سنگ‌های آتشفسانی منطقه در قلمرو کمان قاره‌ای حاصل از فرورانش و در نمودار Pearce et al. (1977) تمامی سنگ‌های منطقه در قلمرو حاشیه مخرب قرار گرفته‌اند. مطالعات ژئوشیمیابی انجام شده بر روی کانسار باریکا، حاکی از آن است که الگوی پراکندگی و همبستگی ژئوشیمیابی عناصر کانه‌ساز در بخش‌های مختلف کاسنستگ چینه‌سان و رگه‌های سیلیسی زون استرینگر، کاملاً الگوی ژئوشیمیابی و کانی‌شناسی یک کانسار سولفید توده‌ای، همخوانی دارد. فراوانی فلزات در کانسار باریکا، نشان می‌دهد که بخش چینه‌سان کانسار، از نظر طلا و نقره دارای اهمیت اقتصادی بوده و کانسار باریکا از نظر تمرکز اقتصادی فلزات پایه قابل توجه نمی‌باشد. نسبت Au/Ag در بخش‌های کاسنستگ سولفیدی و باریتی (کاسنستگ سیاه) و در رگه‌های سیلیسی زون استرینگر کانسار باریکا، با نسبت Au/Ag برای یک کانسار سولفید توده‌ای منطبق است. نسبت پایین Au/Ag در رگه‌های سیلیسی زون استرینگر، که اغلب آنها در حال حاضر به صورت موازی تا نیمه موازی نسبت به برگوارگی جهت یافته شده‌اند، این فرض را که بخشی از رگه‌های سیلیسی مذکور در اثر نهشت سیال‌های حاصل از کوهزایی در پهنه های برشی حاصل شده باشند (یعنی تشکیل رگه‌های سیلیسی طلادر تیپ کوهزایی) را متنفسی می‌سازد.

نسبت Cu/Zn، برای کاسنستگ‌های باریتی و سولفیدی کانسار باریکا، ۰/۲۹ است که در محدوده کاسنستگ‌های سیاه واقع می‌شود. با توجه به نسبت پایین Cu/Zn

بخش‌هایی از رگه‌های سیلیسی با دگرشکلی شکنا، به صورت رگه و رگچه‌های سیلیسی سولفیدی‌دار (اغلب گالن) قطع کننده رگه‌های زون استرینگر، مشاهده شده‌اند. در بخش رگه‌های سیلیسی زون استرینگر کانسار باریکا، توبوگرافی و فاصله رگه‌ها از کانسار سولفید توده‌ای، نقش مهمی در عیار طلا و نقره دارد، به گونه‌ای که بالاترین عیار طلا و نقره در رگه‌های سیلیسی زون استرینگر پایین دست معدن و در رگه‌های سیلیسی و بافتی انجام شده بر روی رگه‌های سیلیسی زون استرینگر (تاج‌الدین و همکاران، ۱۳۸۸)، نشان می‌دهد که دگرشکلی در توزیع دوباره کانه‌ها نقش چندانی نداشته و تنها به تحرک دوباره و انتقال سرب از رگه‌های سیلیسی اولیه و تمرکز دوباره آن در رگه و رگچه‌های کششی ایجاد شده در مرحله دگرشکلی کانسار منجر شده است.

۹- نقش دگرشکلی در کنترل پراکندگی عناصر کانه‌ساز

در طی ۲۰-۳۰ سال گذشته، کانسارهای Au-VMS، به ویژه از نظر زمان نهشت طلا نسبت به زمان تشکیل پیکره سولفید توده‌ای (همزمان با آتشفسان یا همزمان با زمین‌ساخت) موضوع بحث‌های بسیاری بوده‌اند (Dube et al., 2007). همان‌گونه که Poulsen & Hannington (1996) بیان داشتند، دو مدل اصلی برای تشکیل این دسته از کانسارها وجود دارد: ۱) کانسار سولفید توده‌ای فقیر از طلا، به صورت همزمان با سنگ‌های آتشفسانی میزان تشکیل شده و متعاقباً در طی دگرشکلی و دگرگونی در مقیاس ناحیه‌ای، کانی سازی طلای همزمان با دگرشکلی در سیستم کاسنستگ سولفیدی وارد شده است (Tourigny et al., 1989, 1990; Marquis et al., 1990a, 1990b, 1990c; Yeats and Groves, 1998) و ۲) کانسارهای سولفید توده‌ای غنی از طلا، به صورت همزاد (سین‌ژنتیک) از نهشت یک سیال با بی‌亨جاری بالای طلا و/یا نهشت در اثر فوران زیر آبی کم ژرف‌تا فوران هوایی Poulsen & Hannington, 1996; Sillitoe et al., 1996; (Valliant & Barnett, 1982; Tourigny et al., 1993; Dubé et al., 2004) تشکیل شده‌اند. طرفداران نظریه اخیر معتقدند که در کانسارهای Au-VMS، دگرگونی ناحیه‌ای و دگرشکلی، تنها توزیع دوباره برخی از تشکیل دهنده‌ها (عناصر) به داخل ساختارهایی که توسط دگرشکلی ایجاد شده است را موجب شده‌اند که ممکن است با تغییر کانی‌شناسی کانی‌های اولیه، همراه شود.

(Valliant & Barnett, 1982; Tourigny et al., 1993; Dubé et al., 2004)

شواهد کانی‌شناسی و ژئوشیمیابی، مانند پاراژنر کانه‌ای، پراکندگی و توزیع عصری و نسبت Au/Ag، حاکی از آن است که به رغم عملکرد دگرگونی و دگرشکلی بر روی کانسار باریکا، که با ایجاد ساختار و بافت‌های جدید دگرشکلی، تبلور دگرگونی و تحرک دوباره طلا و برخی از فلزات همراه شده است، الگوی پراکندگی عناصر و نسبت‌های فلزی کانسار آتشفسان زاد اولیه تا حدود زیادی حفظ شده است. از این رو گرچه شواهد بافتی آشکاری برای تحرک دوباره کانی‌های Bi و Sb، Ag، Pb، و همراه با طلا در محدوده کاسنستگ‌های سولفیدی و باریتی باریکا وجود دارد، اما مواد دوباره تحرک یافته کانه‌ها ظاهراً فراتر از حاشیه پیکره‌های معدنی و منطقه‌بندی فلزی اولیه حرکت نکرده‌اند. از مهم‌ترین شواهد ژئوشیمیابی که بر آتشفسان زاد بودن الگوی فراوانی عناصر کانه‌ساز باریکا دلالت داشته و بر عدم کارآمدی پهنه برشی باریکا در ایجاد الگوی جدید پراکنش عنصری دلالت دارند عبارتند از:

- تلفیق مطالعات کانه‌نگاری و ژئوشیمی نمونه‌های برداشت شده از رگه‌های سیلیسی زون استرینگر و بخش کاسنستگ چینه‌سان کانسار باریکا، حاکی از آن است که پراکندگی و روابط همبستگی ژئوشیمیابی عناصر کانه‌ساز، کاملاً با الگوی ژئوشیمیابی و کانی‌شناسی یک کاسنستگ سیاه غنی از طلای نوع کوروکو دگرشکل نشده، همخوانی دارد و رخداد پهنه برشی باریکا، نتوانسته است بی‌亨جاری

دگرگونی ضعیف و دگرگشکلی شدید در محدوده کانسار، که با ایجاد ساختار و بافت‌های جدید دگرگشکلی، تبلور دگرگونی و تحرک دوباره طلا و برخی از فلزات همراه شده است، الگوی پراکنده‌گی عناصر و نسبت‌های فلزی کانسار آتشفسان زاد اولیه تا حدود زیادی حفظ شده است، به گونه‌ای که ویژگی‌های ژئوشیمیایی کانسار باریکا، به مقدار زیادی با ویژگی‌های ژئوشیمیایی یک کانسار سولفید توده‌ای آتشفسان زاد غنی از طلای دگرگشکل نشده، همخوانی داشته و مواد دوباره تحرک یافته کانه‌ها ظاهراً فراتر از حاشیه‌های پیکره‌های معدنی و منطقه‌بندی فلزی اولیه حرکت نکرده‌اند.

سپاسگزاری

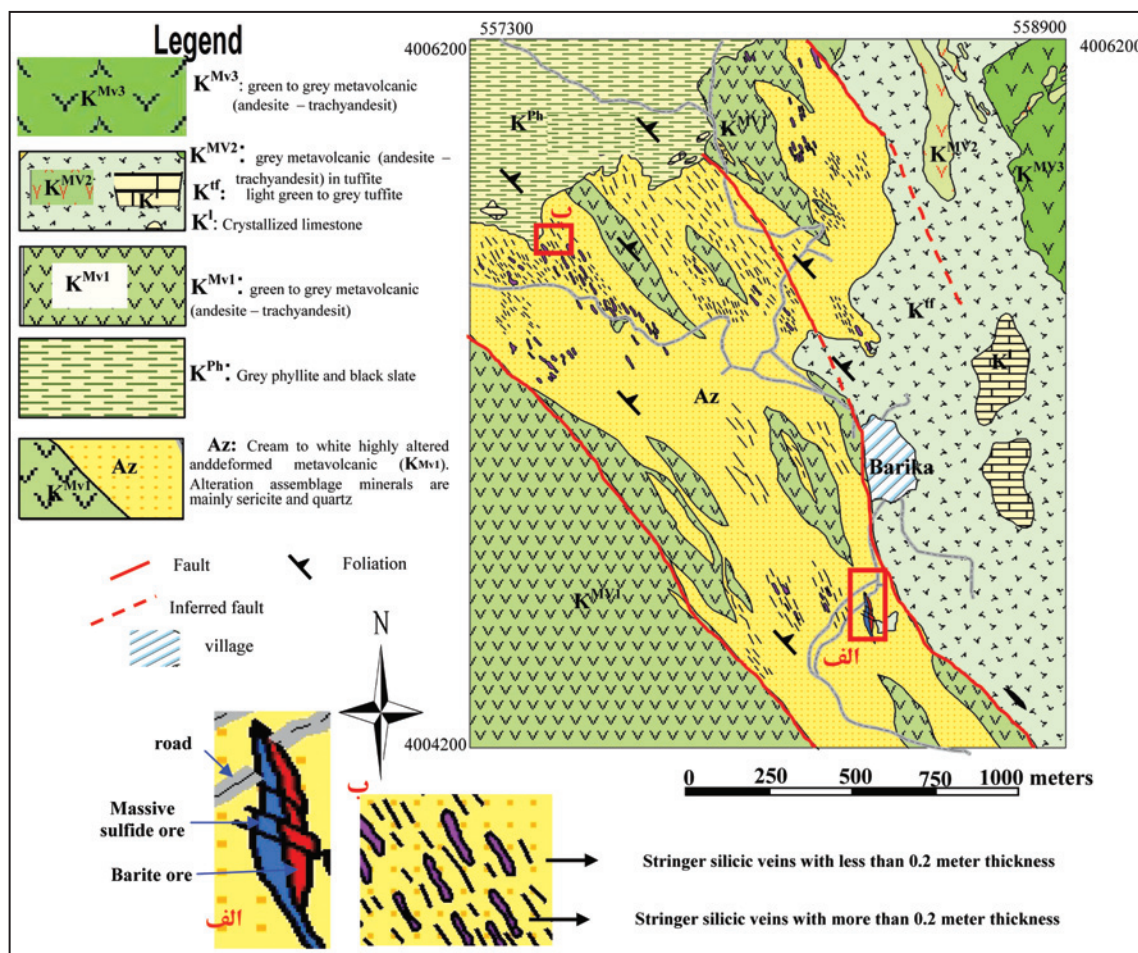
عملیات اجرایی و اکتشافی این تحقیق در قالب طرح‌های اکتشافی سازمان زمین‌شناسی و اکتشافات معدنی کشور به انجام رسیده است، بنابراین از آقای مهندس ناصر عابدیان، معاون محترم اکتشاف سازمان زمین‌شناسی و اکتشافات معدنی کشور و آقای مهندس بهروز برنا، مدیر محترم امور اکتشافات معدنی سازمان زمین‌شناسی و اکتشافات معدنی کشور، که امکانات صحرایی و آزمایشگاهی لازم جهت انجام این تحقیق را فراهم آورده‌اند، صمیمانه تقدیر و تشکر می‌گردد.

کانسار باریکا یک کانسار سولفید توده‌ای از نوع کوروکو است که در آن تنها بخش کانسنگ سیاه تشکیل شده است و قادر بخش‌های کانسنگی زرد و پیریتی است. از سوی دیگر، نسبت پایین Zn/Cu، به کوچک بودن کانسار باریکا، که در فاصله دور از منشأ گرما تشکیل شده است، اشاره دارد.

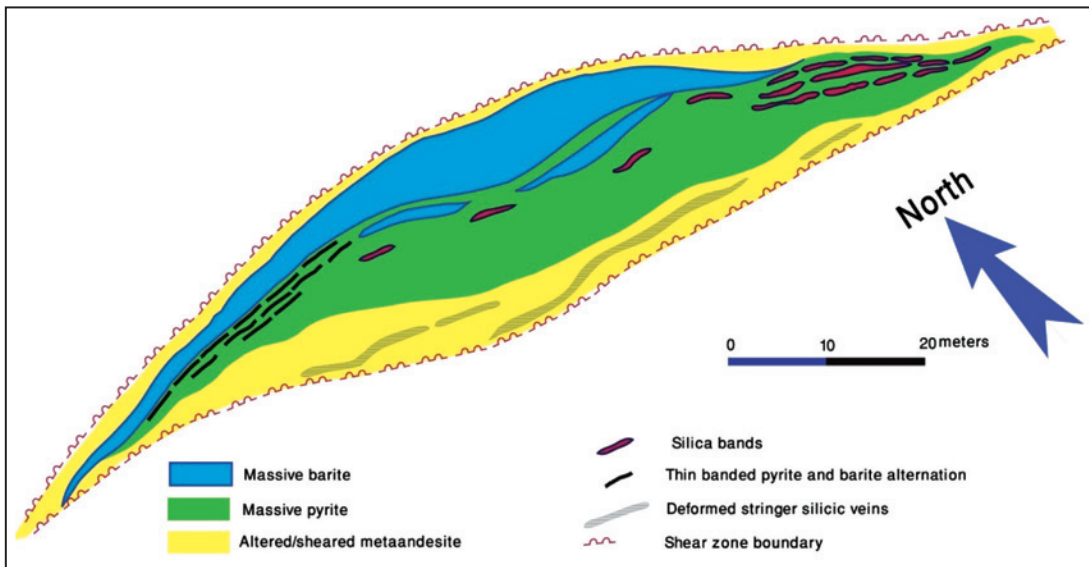
نسبت (Zn/Pb) (100Zn/Pb)، که به عنوان نسبت روی بیان می‌شود، برای بخش‌های مختلف کانسنگ چینه‌سان باریکا، نسبت به مقادیر میانگین گزارش شده برای اغلب کانسارات آتشفسان زاد سولفید توده‌ای فانروزویک جهان، به مقادیر قابل ملاحظه‌ای پایین تر بوده و در دامنه وسیع تری متغیر است. نسبت پایین روی در کانسار باریکا، حاکی از آن است که سیال کانه‌ساز باریکا از نظر روی و سرب تحت اشباع بوده است. از این رو کانسار باریکا قادر پتانسیل قابل توجهی از کانه‌زایی روی و سرب است، به گونه‌ای که مجموع میانگین مقادیر روی و سرب در بخش‌های مختلف کانسار باریکا، همواره کمتر از ۰/۵ درصد است.

مقادیر پایین عناصر کمیاب Co, Bi, Te, In در هر دو بخش چینه‌سان و استرینگر کانسار باریکا، نقش مستقیم مانگما در تأمین فلزات موجود در سیال‌های کانه‌ساز را متغیر می‌سازد.

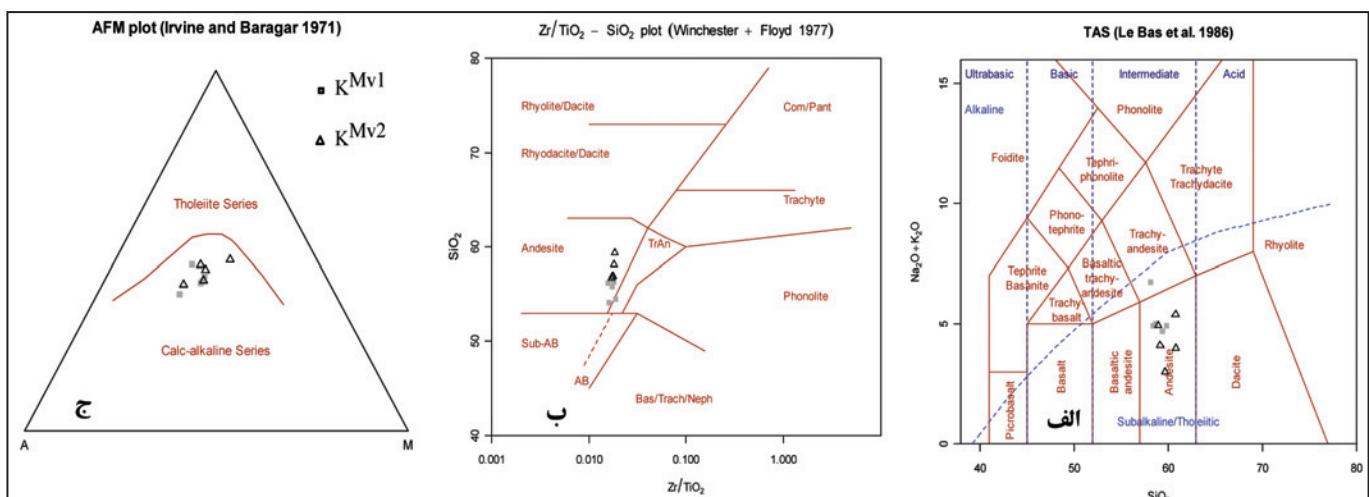
شواهد ژئوشیمیایی، حاکی از آن است که در کانسار باریکا به رغم عملکرد



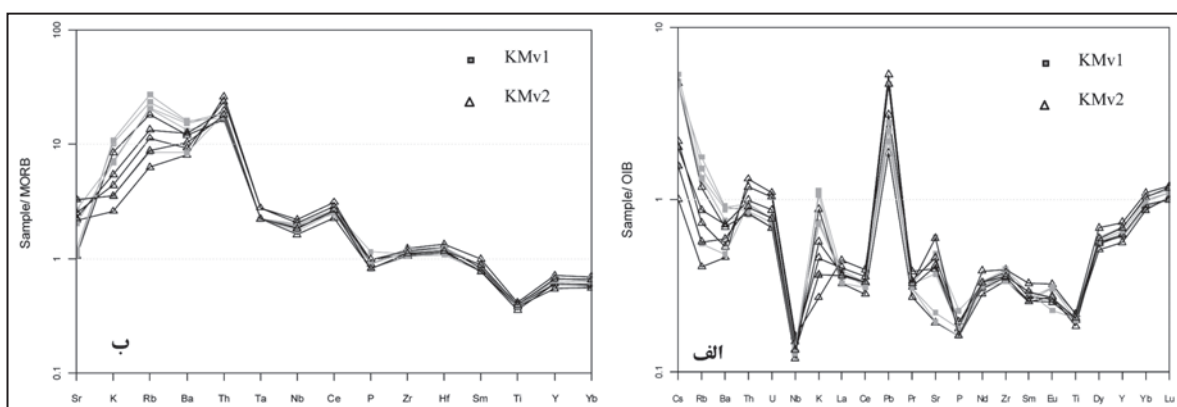
شکل ۱- نقشه زمین‌شناسی کانسار سولفید توده‌ای باریکا. (الف) نمای نزدیک از موقعیت کانسنگ چینه‌سان (سولفید و باریت توده‌ای)، ب) نمای نزدیک از زون استرینگر



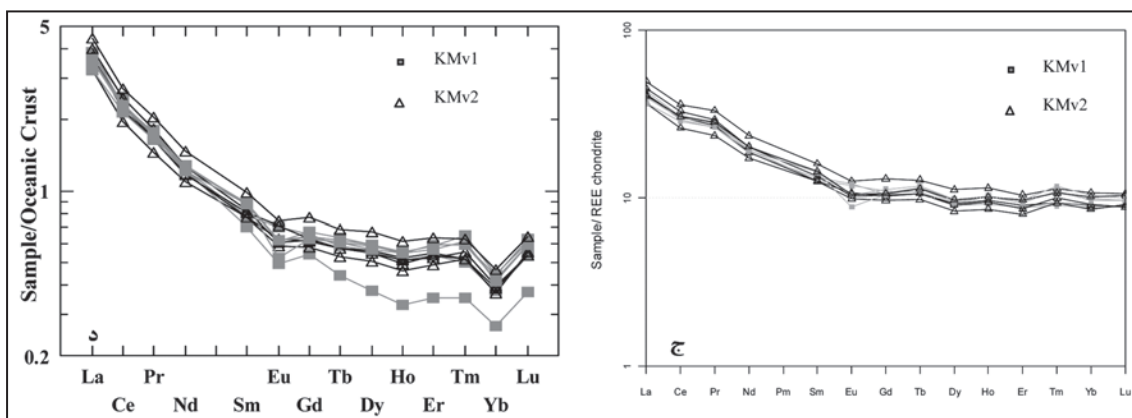
شکل ۲- بخش‌های مختلف کانستگ چینه‌سان باریکا



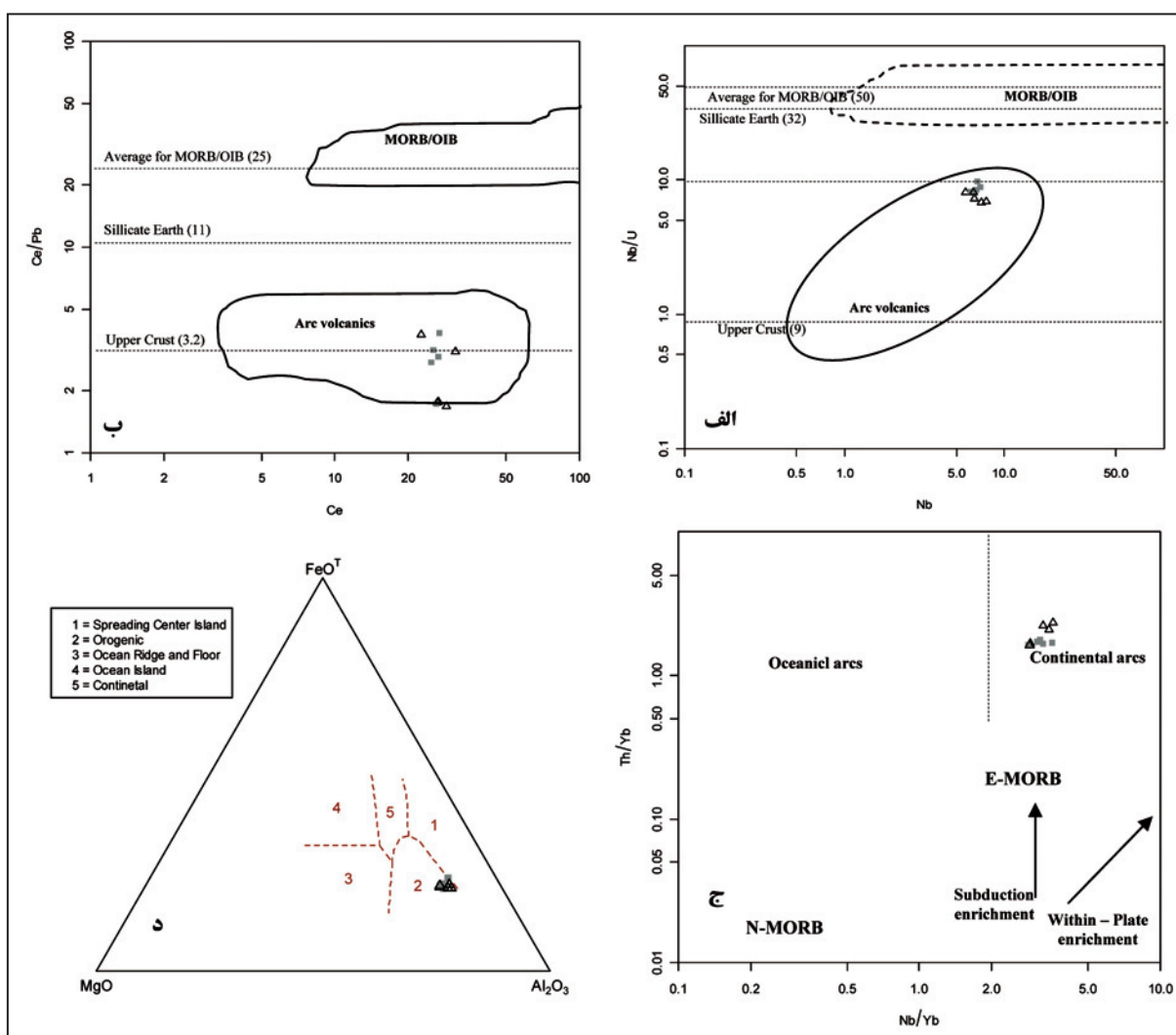
شکل ۳- در نمودارهای الف و ب) تغییرات عناصر قلیایی در برابر سیلیس (Winchester and Floyd, 1977) و تغییرات Zr/TiO_2 در برابر سیلیس (Le Bas et al., 1986) نشان داده شده‌اند. همان‌گونه که در این دو نمودار مشاهده می‌شود، همه سنگ‌ها در قلمرو آندزیت (و تراکی آندزیت) قرار می‌گیرند. نمودار الف، نشان می‌دهد که سنگ‌های میزان ماهیت نیمه قلیایی دارند. ج) در نمودار AFM (Irvine & Baragar, 1971) همه سنگ‌ها در محدوده سری‌های کلسیمی قلیایی واقع شده و روند غنی شدن از آهن مشاهده نمی‌شود.



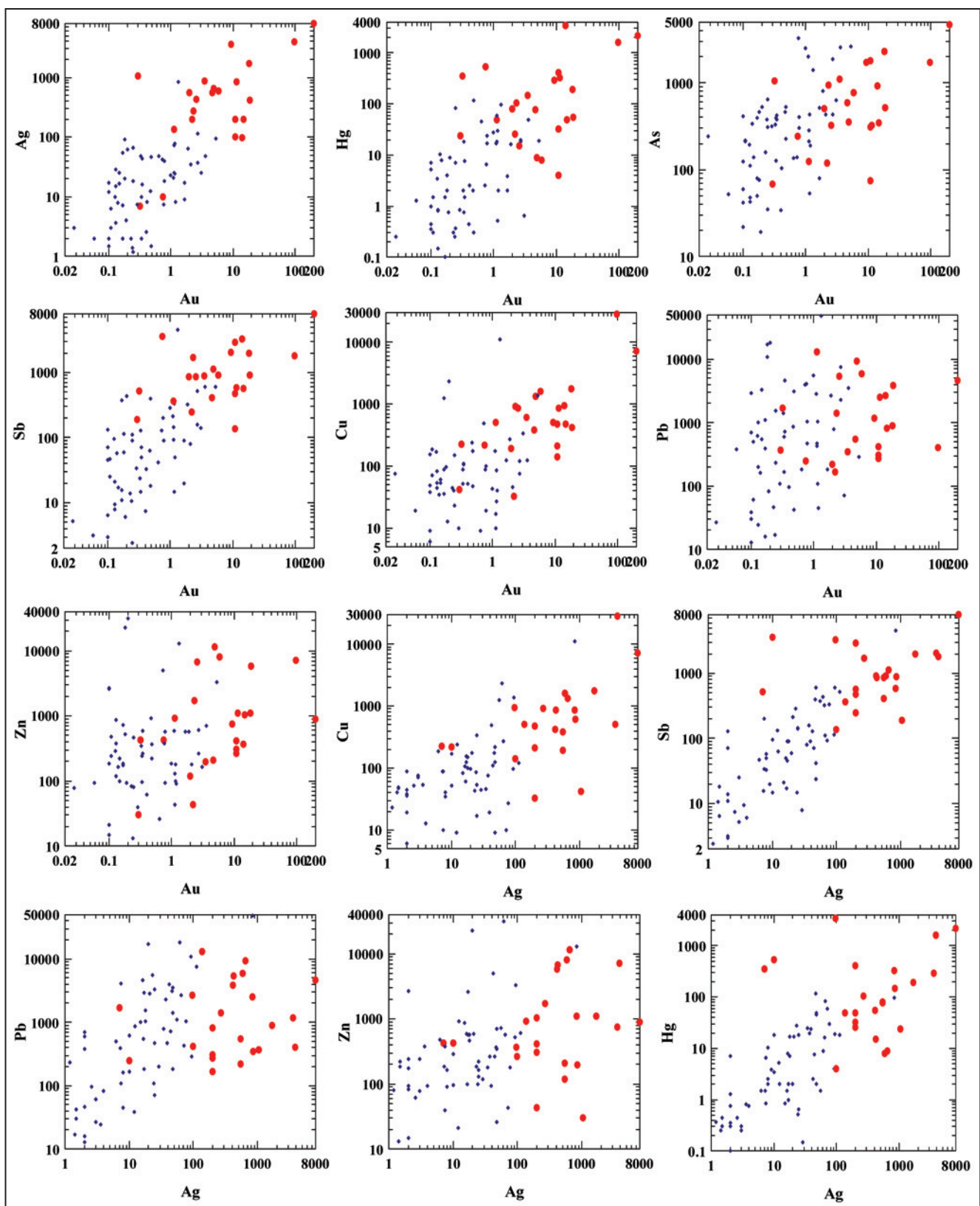
شکل ۴- بهنجار کردن ترکیب سنگ‌های آتشفسانی منطقه با نمونه‌های استاندارد: الف) کندریت‌ها (Sun, 1980)، ب) مورب (Pearce, 1983)



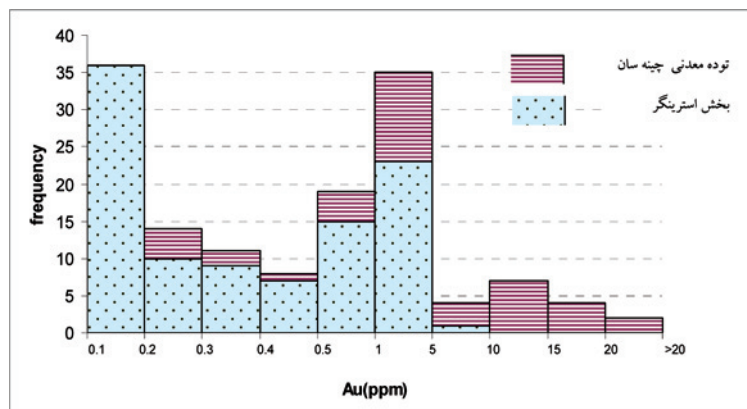
شکل ۴-ج) مقایسه عناصر خاکی کمیاب سنگ‌های آتشفسانی منطقه باکندریت‌ها (Nakamura, 1974) و د) مقایسه عناصر خاکی کمیاب سنگ‌های آتشفسانی منطقه باکندریت‌ها (Pearce, 1983). بی‌هنجری منفی Ti در نمودار الف و ب و بی‌هنجری مثبت Pb و Sr در نمودار الف مشاهده می‌شود که بیانگر تشکیل ماغماهای اولیه این سنگ‌ها در بالای یک زون فروزانش است.



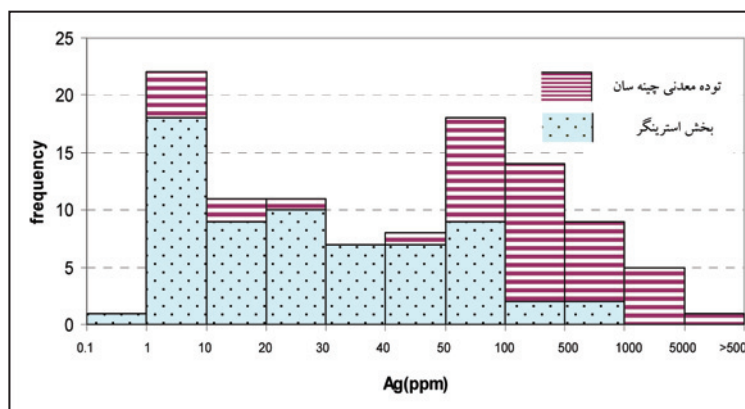
شکل ۵-الف و ب) تغیرات Nb/U در برابر Nb و تغیرات Ce/Pb در برابر Ce. بر اساس این نمودارها سنگ‌های آتشفسانی منطقه در قلمرو کمان‌های ماغمایی قرار می‌گیرند. نسبت‌های MORB/OIB، ترکیب کل پوسته سیلیسی زمین و پوسته قاره‌ای به ترتیب از (Hofmann et al., 1986) و Hofmann et al. (1986) در (ج) Rudnick & Fountain (1995) و McDonough & Sun (1995) و McDonough et al. (1992) برای سنگ‌های گدازه‌ای منطقه. بر اساس این نمودار سنگ‌های آتشفسانی منطقه در قلمرو کمان‌های قاره‌ای حاصل از فروزانش قرار می‌گیرند. در این نمودار مقادیر E-MORB و N-MORB از Sun and McDonough (1989) نقل شده است. د) در نمودار مثلثی (Pearce and Cann, 1973) تمامی سنگ‌های منطقه در قلمرو حاشیه مخترب قرار گرفته‌اند.



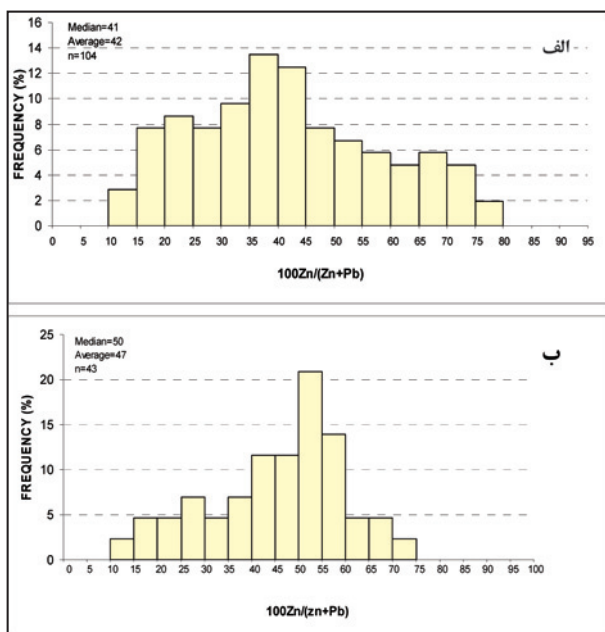
شکل ۶- تغییرات فراوانی عناصر طلا و نقره با دیگر عناصر کانه‌ساز. دایره‌های قرمز برای نمونه‌های انتخاب شده از زون چینه‌سان و چهارضلعی‌های آبی رنگ برای نمونه‌های برداشت شده از زون استرنگ انتخاب شده‌اند.



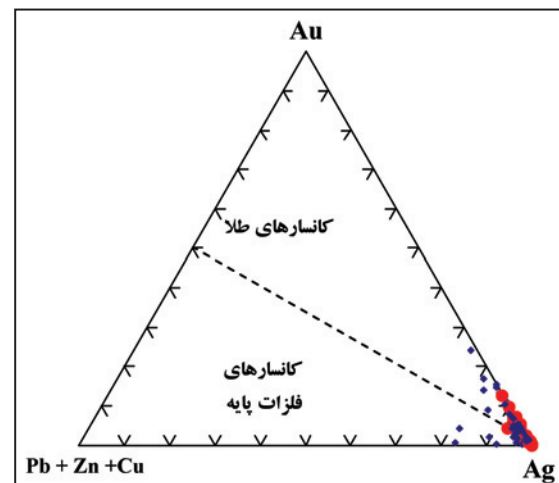
شکل ۷- مقایسه فراوانی طلا در توده معدنی چینه سان و زون استرینگر کانسار



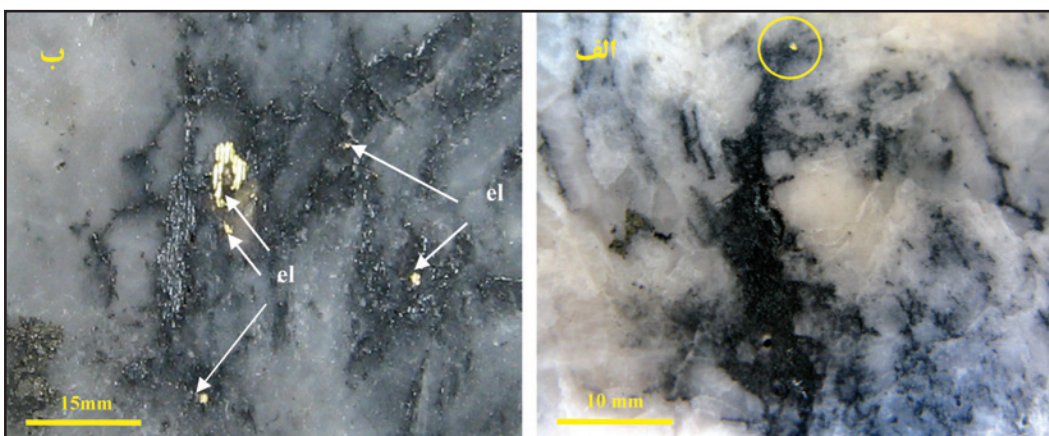
شکل ۸- مقایسه فراوانی نقره در توده معدنی چینه سان و زون استرینگر کانسار



شکل ۱۰- (الف) نسبت روی برای کانسنگرهای سیلیسی زون استرینگر و (ب) نسبت روی برای کانسنگرهای بخش چینه سان



شکل ۹- نمونه باریکا (۱۴۹ نمونه)، براساس فراوانی فلزهای پایه و گرانبهای بروی نمودار سه تایی (Hannington et al. 1999) پیاده شده است. دایره‌های قرمز برای نمونه‌های برداشت شده از زون چینه سان و لوزی‌های آبی رنگ برای نمونه‌های برداشت شده از زون استرینگر انتخاب شده‌اند. مقادیر فلزهای پایه بر حسب درصد و مقادیر طلا و نقره بر حسب گرم در تن است.



شکل ۱۱- ساختار و بافت‌های پرکننده فضای خالی ایجاد شده در اثر دگرگشکلی شکنا مرتبط با رخداد پهنه‌برشی باریکا. در شکل‌های بالا. فضای ریزشکستگی‌ها توسط سولفوسالت‌های (کانه‌های تیره رنگ) و الکتروم (el) به صورت قابل مشاهده با چشم در آنها دیده می‌شود. در شکل الف، الکتروم در مرکز دایره زرد رنگ نشان داده شد

جدول ۱- نتایج تجزیه شیمیابی نمونه‌های برداشت شده از واحدهای آتشفسانی دگرگون شده محدوده باریکا

| | KMV1 | | | | | | KMV3 | | | | |
|--------------------------------------|-------|-------|-------|-------|-------|----------|-------|-------|-------|-------|-------|
| | BA.2 | BA.5 | BA.26 | BA.57 | BA.62 | BA.62(b) | BA.8 | BA.21 | BA.29 | BA.51 | BA.52 |
| SiO ₂ (wt%) | 56.2 | 59.4 | 54.5 | 55.8 | 56.3 | 56.7 | 56.9 | 58.1 | 54.1 | 56.9 | 59.4 |
| TiO ₂ | 0.63 | 0.56 | 0.59 | 0.59 | 0.57 | 0.59 | 0.62 | 0.53 | 0.58 | 0.57 | 0.58 |
| Al ₂ O ₃ | 17.75 | 16.8 | 17.5 | 17.85 | 18.2 | 18.15 | 18.2 | 17.6 | 17.3 | 18.1 | 17.4 |
| Fe ₂ O ₃ (tot) | 6.29 | 4.96 | 6.64 | 6.72 | 6.81 | 6.81 | 6.64 | 6.1 | 7.01 | 6.42 | 6.44 |
| MnO | 0.12 | 0.11 | 0.11 | 0.16 | 0.16 | 0.16 | 0.1 | 0.09 | 0.18 | 0.13 | 0.13 |
| MgO | 3.49 | 1.48 | 3.37 | 3.58 | 3.75 | 3.76 | 3.77 | 2.87 | 2.8 | 3.19 | 2.9 |
| CaO | 4.68 | 3.73 | 4.6 | 4.64 | 5.17 | 5.15 | 6.21 | 5.03 | 6 | 6.78 | 6.79 |
| Na ₂ O | 3.55 | 6.74 | 5.29 | 2.89 | 4.28 | 4.21 | 2.46 | 3.89 | 2.92 | 3.12 | 3.25 |
| K ₂ O | 1.07 | 0.3 | 1.04 | 1.53 | 0.53 | 0.53 | 0.39 | 1.27 | 1.63 | 0.82 | 0.66 |
| P ₂ O ₅ | 0.14 | 0.23 | 0.11 | 0.11 | 0.11 | 0.1 | 0.11 | 0.1 | 0.1 | 0.12 | 0.12 |
| LOI 2 | | | | | | | | | | | |
| total (wt%) | 100 | 98.8 | 100.5 | 100 | 100 | 100 | 99 | 98.9 | 100.5 | 100 | 100.5 |
| Ba (ppm) | 265 | 202 | 307 | 315 | 169.5 | 207 | 161.5 | 242 | 321 | 251 | 186 |
| Rb | 41 | 10.6 | 41.6 | 47.1 | 17.2 | 17.6 | 12.6 | 36.5 | 54.8 | 26.9 | 22.7 |
| Sr | 320 | 424 | 244 | 145 | 396 | 395 | 261 | 127.5 | 128.5 | 272 | 302 |
| Y | 17.6 | 11.8 | 20.1 | 19.1 | 19.8 | 19.9 | 21.4 | 18.2 | 18.1 | 16.3 | 18 |
| Zr | 99 | 138 | 110 | 103 | 102 | 100 | 110 | 95 | 94 | 99 | 106 |
| Nb | 6.8 | 12.6 | 7.1 | 6.7 | 6.4 | 6.4 | 7.7 | 5.7 | 6.1 | 6.5 | 7.2 |
| Th | 3.26 | 5.07 | 3.63 | 3.77 | 3.73 | 3.62 | 5.27 | 3.32 | 3.42 | 3.97 | 4.73 |
| Pb | 9 | 26 | 7 | 9 | 15 | 15 | 10 | 6 | 8 | 15 | 17 |
| Zn | 87 | 88 | 81 | 111 | 92 | 94 | 46 | 80 | 140 | 84 | 83 |
| Cu | 31 | 46 | 7 | 43 | 4 | 23 | 22 | 21 | 6 | 37 | 20 |
| Ni | 25 | 7 | 15 | 12 | 13 | 10 | 20 | 9 | 11 | 11 | 9 |
| V | 157 | 74 | 181 | 155 | 151 | 153 | 160 | 155 | 164 | 138 | 149 |
| Cr | 30 | 20 | 20 | 20 | 30 | 30 | 50 | 20 | 10 | 40 | 40 |
| Co | 17.8 | 9.6 | 18.9 | 17.1 | 16.9 | 16.7 | 14 | 15.8 | 18.5 | 15.8 | 15.6 |
| U | 0.7 | 0.85 | 0.8 | 0.79 | 0.79 | 0.79 | 1.12 | 0.7 | 0.75 | 0.89 | 1.06 |
| La | 14.4 | 14.2 | 13.5 | 12.1 | 13.2 | 13.4 | 16.4 | 12.1 | 13.8 | 13.7 | 14.9 |
| Ce | 26.5 | 28.9 | 26.8 | 24.7 | 26 | 26.5 | 31.2 | 22.6 | 25.3 | 26.3 | 28.5 |
| Pr | 3.09 | 3.27 | 3.15 | 2.96 | 3.13 | 3.17 | 3.72 | 2.63 | 2.97 | 3.02 | 3.28 |
| Nd | 12.2 | 12.2 | 12.8 | 12.1 | 12.7 | 12.7 | 14.8 | 10.9 | 11.7 | 11.8 | 12.7 |
| Sm | 2.57 | 2.33 | 2.89 | 2.88 | 2.89 | 2.92 | 3.25 | 2.55 | 2.67 | 2.56 | 2.73 |
| Eu | 0.91 | 0.64 | 0.8 | 0.68 | 0.81 | 0.81 | 0.97 | 0.82 | 0.93 | 0.76 | 0.79 |
| Gd | 3.02 | 2.48 | 3.11 | 2.88 | 2.96 | 2.93 | 3.57 | 2.81 | 2.89 | 2.66 | 2.84 |
| Tb | 0.51 | 0.38 | 0.55 | 0.53 | 0.54 | 0.53 | 0.6 | 0.5 | 0.5 | 0.46 | 0.5 |
| Dy | 3.18 | 2.16 | 3.37 | 3.22 | 3.37 | 3.33 | 3.83 | 3.18 | 3.11 | 2.86 | 3.1 |
| Ho | 0.66 | 0.43 | 0.71 | 0.71 | 0.72 | 0.71 | 0.8 | 0.68 | 0.64 | 0.6 | 0.66 |
| Er | 1.97 | 1.3 | 2.2 | 2.09 | 2.17 | 2.18 | 2.34 | 2.03 | 1.98 | 1.8 | 1.94 |
| Tm | 0.27 | 0.19 | 0.32 | 0.33 | 0.35 | 0.32 | 0.34 | 0.28 | 0.28 | 0.28 | 0.3 |
| Yb | 1.92 | 1.36 | 2.17 | 2.12 | 2.27 | 2.23 | 2.36 | 1.98 | 1.97 | 1.88 | 2.01 |
| Lu | 0.3 | 0.21 | 0.33 | 0.33 | 0.34 | 0.35 | 0.36 | 0.3 | 0.3 | 0.31 | 0.3 |
| Th/Yb | 1.70 | 3.73 | 1.67 | 1.78 | 1.64 | 1.62 | 2.23 | 1.68 | 1.74 | 2.11 | 2.35 |
| Ba/Rb | 6.46 | 19.06 | 7.38 | 6.69 | 9.85 | 11.76 | 12.82 | 6.63 | 5.86 | 9.33 | 8.19 |
| Nb/U | 9.71 | 14.82 | 8.88 | 8.48 | 8.10 | 8.10 | 6.88 | 8.14 | 8.13 | 7.30 | 6.79 |
| Ce/Pb | 2.94 | 1.11 | 3.83 | 2.74 | 1.73 | 1.77 | 3.12 | 3.77 | 3.16 | 1.75 | 1.68 |
| Th/La | 0.23 | 0.36 | 0.27 | 0.31 | 0.28 | 0.27 | 0.32 | 0.27 | 0.25 | 0.29 | 0.32 |
| Th/Nb | 0.48 | 0.40 | 0.51 | 0.56 | 0.58 | 0.57 | 0.68 | 0.58 | 0.56 | 0.61 | 0.66 |
| Zr/Nb | 14.56 | 10.95 | 15.49 | 15.37 | 15.94 | 15.63 | 14.29 | 16.67 | 15.41 | 15.23 | 14.72 |
| La/Nb | 2.12 | 1.13 | 1.90 | 1.81 | 2.06 | 2.09 | 2.13 | 2.12 | 2.26 | 2.11 | 2.07 |

جدول ۲- فراوانی عناصر کانستنگی در کانسار باریکا

| | massive and banded ore | | | | | | | | | | | | | |
|---------|--|------|-------|-------|------|-------|-------|-------|-----|-------|------|------|-----|-----|
| | Au | Ag | As | Sb | Hg | Cu | Pb | Zn | Bi | Te | Tl | Mo | W | Sn |
| maximum | 25 | 8000 | 4660 | 7880 | 3378 | 7117 | 13000 | 17000 | 0.7 | 0.06 | 12.4 | 101 | 8 | 34 |
| minimum | 0.33 | 7 | 50 | 60 | 3.5 | 32.8 | 83 | 30 | 0.1 | <0.01 | 0.3 | 0.7 | 0.7 | 1 |
| median | 5.1 | 312 | 395 | 768 | 126 | 506 | 553 | 740 | 0.2 | 0.02 | 0.8 | 6.7 | 5 | 2.9 |
| average | 4.20 | 260 | 742 | 1231 | 506 | 779 | 2236 | 2647 | 0.3 | 0.02 | 3.8 | 16.8 | 4.9 | 5.1 |
| | stockwork silicic veins (stringer zone) | | | | | | | | | | | | | |
| | Au | Ag | As | Sb | Hg | Cu | Pb | Zn | Bi | Te | Tl | Mo | W | Sn |
| maximum | 5.30 | 660 | 3300 | 595 | 117 | 2300 | 18000 | 31000 | 12 | 0.07 | 8 | 86.7 | 8.8 | 42 |
| minimum | 0.1 | 1 | 19.3 | 2.4 | 0.1 | 6 | 13 | 3.2 | 0.1 | <0.01 | 0.29 | 0.7 | 0.3 | 0.5 |
| median | 0.34 | 16.3 | 255 | 61 | 2.5 | 81.3 | 488 | 225.2 | 0.3 | 0.03 | 3.4 | 6 | 2.3 | 1.8 |
| average | 0.72 | 30.8 | 440.2 | 104.8 | 12.4 | 145.6 | 1553 | 973.2 | 1.2 | 0.03 | 3.7 | 9.2 | 2.4 | 2.6 |

جدول ۳- ترکیب شیمیایی کانی های سولفوسالتی موجود در بخش چینه سان کانسار باریکا بر اساس نتایج مطالعات الکترون میکروپریوب

| Total | S | Ag | Zn | Bi | Au | W | Te | Sn | Cd | Mo | Cu | Co | Fe | Pb | Hg | Sb | As | mineral |
|-------|------|------|-----|-----|-----|-----|-----|-----|-----|-----|------|-----|------|------|-----|------|--------------------|---|
| 100.3 | 15.2 | 69.3 | 0.0 | 0.0 | 0.0 | 0.0 | 0.0 | 0.1 | 0.1 | 0.0 | 0.0 | 0.0 | 0.0 | 0.0 | 0.1 | 15.1 | 0.4 | stephanite |
| 99.6 | 17.1 | 63.8 | 0.0 | 0.0 | 0.0 | 0.0 | 0.0 | 0.1 | 0.2 | 0.0 | 0.0 | 0.0 | 0.0 | 0.0 | 0.1 | 13.2 | 5.2 | pyrargyrite |
| 99.7 | 42.4 | 23.9 | 0.0 | 0.0 | 0.1 | 0.0 | 0.0 | 0.1 | 0.1 | 0.0 | 0.0 | 0.0 | 0.0 | 0.0 | 0.0 | 14.1 | 19.0 | trechmannite |
| 98.8 | 22.9 | 40.1 | 0.0 | 0.0 | 0.0 | 0.0 | 0.0 | 0.1 | 0.1 | 0.0 | 0.1 | 0.1 | 0.0 | 0.5 | 0.8 | 24.7 | 9.2 | miargyrite |
| 99.3 | 13.0 | 23.0 | 0.0 | 0.0 | 0.0 | 0.0 | 0.1 | 0.1 | 0.0 | 0.0 | 0.9 | 0.0 | 0.0 | 20.3 | 0.9 | 33.0 | 7.9 | As-rich andorite |
| 99.6 | 11.5 | 24.3 | 3.8 | 0.0 | 0.0 | 0.0 | 0.0 | 0.0 | 0.1 | 0.0 | 30.6 | 0.0 | 0.8 | 0.0 | 8.9 | 6.4 | 13.0 | (Zn, Hg)-rich tennantite |
| 99.4 | 17.6 | 0.3 | 0.0 | 0.0 | 0.0 | 0.0 | 0.0 | 0.0 | 0.0 | 0.0 | 0.0 | 0.0 | 66.8 | 0.0 | 9.8 | 4.7 | As-rich geocromite | |
| 98.6 | 0.2 | 20.7 | 0.1 | 0.0 | 0.0 | 0.0 | 0.0 | 0.0 | 0.1 | 0.0 | 13.9 | 0.0 | 0.0 | 43.7 | 0.0 | 10.0 | 9.8 | Sb-rich seligmanite |
| 98.6 | 23.6 | 1.2 | 0.0 | 0.0 | 0.0 | 0.1 | 0.0 | 0.1 | 0.0 | 0.0 | 0.1 | 0.0 | 0.0 | 36.9 | 0.0 | 22.9 | 13.6 | twinnite/ guettardite |
| 98.6 | 41.7 | 24.0 | 0.1 | 0.0 | 0.0 | 0.0 | 0.0 | 0.1 | 0.1 | 0.0 | 0.0 | 0.0 | 0.0 | 0.0 | 0.0 | 13.6 | 19.2 | smithite |
| 100.4 | 23.2 | 8.9 | 0.0 | 0.0 | 0.0 | 0.0 | 0.0 | 0.1 | 0.0 | 0.0 | 0.0 | 0.2 | 0.1 | 34.8 | 0.1 | 20.2 | 12.7 | unnamed mineral (Ag ₂ Pb ₄ As ₄ Sb ₄ S ₁₇) |

جدول ۴- ویژگی های زمین شناسی، کانی شناسی و ژئوشیمیایی کانسار باریکا

| سنگ میریان | زون سولفید و پاریت توده ای | | | | | | | | | | | | | | زنگ اسبریت |
|--|---|---|---|--|--|--|--|--|--|--|--|--|--|--|------------|
| | آندزیزیت با دگرسانی سبلیس، سربیت کوارتز و سولفیدی | | | | | | | | | | | | | | |
| سنگ میریان | کمر بالا و کمر پائین: توزیع با دگرسانی سبلیس، سربیت کوارتز و سولفیدی | آندزیزیت با دگرسانی سبلیس، سربیت کوارتز و سولفیدی | گل: کانستنگ سولفیدی | ب: کانستنگ پاریت | ج: کانستنگ سبلیس | کانستنگ سبلیس | رگه: آن و رگجه: آن | | | | | | | | |
| سنگ میریان | شکل کلی سنگ لوله ای در میان اخضاعات حدود ۵ متر، در خشون و نسبه دستی ا | اخضاعات توده ای: اخضاعات حدود ۱۰ متر، در میان کانستنگ سولفیدی و پاریت بصورت نواری در اخضاعات سنگی تا دسی متري | اخضاعات توده ای: اخضاعات حدود ۱۰ متر، در میان کانستنگ سولفیدی و پاریت بصورت نواری در اخضاعات سنگی تا دسی متري | آغلب نواری در اخضاعات هائ میانی ۱/۵ تا ۱ متر | آغلب نواری در اخضاعات هائ میانی ۱/۵ تا ۱ متر | آغلب نواری در اخضاعات هائ میانی ۱/۵ تا ۱ متر | آغلب نواری در اخضاعات هائ میانی ۱/۵ تا ۱ متر | | | | | | | | |
| کانی شناسی | Py>>Ss>>stb> Sph>Gn + Au | Py>>Sph> Gn>>stb - Au | Ss>>Py>>cin - Au | Py>>Sph> Gn>>Tet - Tn ± Cpy ± Au | | | | | | | | | | | |
| عناصر طبی همراه | Au, Ag, Cu, Pb, Zn, Sb, As, Hg | Au, Ag, Zn, Pb, Cu, Sb, As, Hg | Au, Ag, Pb, Zn, Cu, Sb, Hg, As | Pb, Zn, Cu, As, Sb, Ag, Au | | | | | | | | | | | |
| Au : ppm: | ۴.۵ | ۳.۲ | ۹.۳ | ۰.۷۶ | | | | | | | | | | | |
| Ag : ppm: | ۳۵۲ | ۱۷۱ | ۱۵۷۵ | ۳۱ | | | | | | | | | | | |
| As : ppm: | ۱۹۷۹ | ۲۹۸ | ۱۱۱ | ۴۴۰ | | | | | | | | | | | |
| Sb : ppm: | ۲۰.۵۹ | ۵۴۸ | ۲۶۸۹ | ۱۰.۵ | | | | | | | | | | | |
| Hg : ppm: | ۵۰.۹ | ۵۹ | ۱۱۸۲ | ۱۲.۴ | | | | | | | | | | | |
| Zn : %: | ۰.۰۵ | ۰.۴۸ | ۰.۰۸ | ۰.۱ | | | | | | | | | | | |
| Pb : %: | ۰.۰۸ | ۰.۴۱ | ۰.۱۲ | ۰.۱۶ | | | | | | | | | | | |
| Cu : %: | ۰.۱۴ | ۰.۱۱ | ۰.۱۷ | ۰.۱۴ | | | | | | | | | | | |
| Zn-Pb-Cu | ۰.۰۸ | ۰.۰۰ | ۰.۰۶ | ۰.۰۷ | | | | | | | | | | | |
| Au/Ag | ۱.۰۰۵ | ۰.۱۶۹ | ۰.۰۰۶ | ۰.۰۳ | | | | | | | | | | | |
| ۱۰۰Zn / Zn-Pb: | ۳۶ | ۵۴ | ۴۰ | ۳۸ | | | | | | | | | | | |
| کانیهای سولفوسالت، Py: پیریت، Sph: اسفلاریت، Gn: گالن، Tn: تراهدریت، Cn: سیناپر، Cpy: کالکوپیریت و Au: طلا | | | | | | | | | | | | | | | |

جدول ۵- ضرایب همبستگی عناصر کانه‌ساز در بخش رگه‌های سیلیسی زون استرینگر (تعداد نمونه = ۱۱۰)

| | <i>Au</i> | <i>Ag</i> | <i>As</i> | <i>Bi</i> | <i>Hg</i> | <i>Sb</i> | <i>Pb</i> | <i>Zn</i> | <i>Cu</i> |
|-----------|-----------|-----------|-----------|-----------|-----------|-----------|-----------|-----------|-----------|
| <i>Au</i> | 1.00 | | | | | | | | |
| <i>Ag</i> | 0.15 | 1.00 | | | | | | | |
| <i>As</i> | 0.57 | 0.21 | 1.00 | | | | | | |
| <i>Bi</i> | -0.27 | -0.09 | -0.22 | 1.00 | | | | | |
| <i>Hg</i> | 0.06 | 0.28 | 0.23 | -0.01 | 1.00 | | | | |
| <i>Sb</i> | 0.24 | 0.78 | 0.33 | -0.11 | 0.33 | 1.00 | | | |
| <i>Pb</i> | 0.12 | 0.69 | 0.21 | -0.04 | 0.18 | 0.88 | 1.00 | | |
| <i>Zn</i> | 0.07 | 0.75 | 0.17 | -0.10 | 0.18 | 0.94 | 0.95 | 1.00 | |
| <i>Cu</i> | 0.14 | 0.76 | 0.21 | -0.09 | 0.20 | 0.97 | 0.90 | 0.97 | 1.00 |

جدول ۶- ضرایب همبستگی عناصر کانه‌ساز در بخش چینه‌سان (تعداد نمونه = ۴۵)

| | <i>Au</i> | <i>Ag</i> | <i>As</i> | <i>Bi</i> | <i>Hg</i> | <i>Sb</i> | <i>Pb</i> | <i>Zn</i> | <i>Cu</i> |
|-----------|-----------|-----------|-----------|-----------|-----------|-----------|-----------|-----------|-----------|
| <i>Au</i> | 1.00 | | | | | | | | |
| <i>Ag</i> | 0.92 | 1.00 | | | | | | | |
| <i>As</i> | 0.43 | 0.45 | 1.00 | | | | | | |
| <i>Bi</i> | 0.19 | 0.11 | 0.02 | 1.00 | | | | | |
| <i>Hg</i> | 0.54 | 0.44 | 0.39 | 0.21 | 1.00 | | | | |
| <i>Sb</i> | 0.49 | 0.80 | 0.49 | -0.06 | 0.64 | 1.00 | | | |
| <i>Pb</i> | 0.15 | 0.16 | -0.01 | -0.22 | 0.44 | 0.21 | 1.00 | | |
| <i>Zn</i> | 0.15 | 0.16 | -0.02 | -0.07 | -0.05 | 0.09 | 0.65 | 1.00 | |
| <i>Cu</i> | 0.61 | 0.56 | 0.20 | 0.35 | 0.39 | 0.31 | 0.03 | 0.39 | 1.00 |

کتابنگاری

- تاج الدین، ح.، راستاد، ا.، یعقوب پور، ع.، مجله، م.، عابدیان، ن.، برونا، ب.، دری، م.، روزبه، س. و یارمحمدی، ع.، ۱۳۸۸- مراحل تشكیل و تکوین کانساروسولفید تودهای غنی از طلای باریکا، بر اساس مطالعه ساخت، بافت و میکروترموتری سیالات درگیر، خاور سردشت، سنتدج - سیرجان شمالی. بیست و هفتمین همایش علومزمین و سیزدهمین همایش انجمان زمین‌شناسی ایران. سازمان زمین‌شناسی و اکتشافات معدنی کشور.
- عزیزی، ح.، مهرابی، ب. و ایزدی، ف.، ۱۳۸۷- مagma-tism الیگومن در زون تراست زاگرس (محور صحنه - مریوان): دور دوم فروزانش نتویتیس در پالئوژن. یارمحمدی، ع.، راستاد، ا.، مجله، م.، شمسا، م.، ج.، ۱۳۸۴- رخداد طلای باریکا: کانه زایی تیپ ماسیوسولفید و لکانوژنیک غنی از طلا در ایران، خلاصه مقالات بیست و چهارمین گردهمایی علومزمین، سازمان زمین‌شناسی و اکتشافات معدنی کشور.
- یارمحمدی، ع.، ۱۳۸۵- کانی‌شناسی، ژئوشیمی، ساخت و بافت و ژنز کانه‌زایی طلا (نقره، فلزات پایه و باریت) در محدوده معدنی باریکا، شرق سردشت. پایان نامه کارشناسی ارشد، دانشکده علوم پایه، دانشگاه تربیت مدرس.
- یارمحمدی، ع.، راستاد، ا.، مجله، م.، شمسا، م.، ج.، ۱۳۸۷- رخداد طلای باریکا: کانه زایی تیپ ماسیوسولفید و لکانوژنیک غنی از طلا در ایران. مجله علوم دانشگاه تهران. جلد ۳۴، شماره ۱، صفحات ۴۷-۶۰.
- معین وزیری، ح.، عزیزی، ح.، مهرابی، ب. و ایزدی، ف.، ۱۳۸۷- magma-tism الیگومن در زون تراست زاگرس (محور صحنه - مریوان): دور دوم فروزانش نتویتیس در پالئوژن.

References

- Azizi, H., Jahangiri, A., 2008- Cretaceous subduction-related volcanism in the northern Sanandaj-Sirjan Zone, Iran. J. Geodyn. 45, 178–190.
- Azizi, H., Moinevaziri, H., 2008- Review of the tectonic setting of Cretaceous to Quaternary volcanism in northwestern Iran. J. Geodyn. 47, 167–179.
- Ayers, J., 1998- Trace elements modelling of aqueous fluid–peridotite interaction in mantle wedge of subduction zones. Contrib. Miner. Petrol. 132, 390–404.

- Brenan, J. M., Shaw, H. F., Phinney, D. L., Ryerson, F. J., 1995- Rutile-aqueous fluid partitioning of Nb, Ta, Hf, Zr, U and Th: implications for high field strength element depletions in island-arc basalts. *Earth Planet. Sci. Lett.* 128, 327–339.
- Dubé, B., Mercier-Langevin, P., Hannington, M., Davis, D., et Lafrance, B., 2004- Le gisement de sulfures massifs volcanogènes aurifères LaRonde, Abitibi, Québec: altération, minéralisations, genèse et implications pour l'exploration. Ministères des Resources naturelles de la faune et des parcs. MB 2004-03. 112p
- Dubé, B., Gosselin, P., Mercier-Langevin, P., Hannington, M. and Galley, A., 2007- Gold-rich volcanogenic massive sulphide deposits, in Goodfellow, W.D., ed., *Mineral deposits of Canada—A synthesis of major deposit-types, district metallogeny, the evolution of geological provinces, and exploration methods*: Geological Association of Canada, Mineral Deposits Division, Special Publication no. 5, p. 75–94.
- Eftekhari-Nezhad, J., 2004 - Exploration text of The Mahabad Quadrangle map :1:250,000 (North Kurdestan). Geological Survey and Mineral Exploration of Iran. Tehran
- Franklin, J. M., Gibson, H. L., Jonasson, I. R., Galley, A. G., 2005. Volcanogenic massive sulfide deposits. *Economic Geology* 100th Anniversary Volume, 523–560
- Hannington, M. D., Peter, J. M. and Scott, S. D., 1986- Gold in sea – floor polymetallic sulfides: *Economic Geology*. V.81, P.1867-1883.
- Hannington, M. D., Poulsen, K. H., Thompson, J. F. H. and Sillitoe, R. H., 1999-Volcanogenic gold in massive sulfide environment: Reviews in *Economic Geology*, v. 8, p. 325-356.
- Hofmann, A.W., 1988- Chemical differentiation of the earth: the relation between mantle, continental crust and oceanic crust. *Earth Planet. Sci. Lett.* 90, 297–314.
- Horikoshi & Shikazono, 1978- Subtypes and their characteristics of Kuroko- type deposits: *Mining Geology*, v.28, p.267-276.
- Huston, D. and Large, R., 1987- Genetic and Exploration Significance of the Zinc Ratio (100 Zn/(Zn + Pb)) in Massive Sulfide Systems. *Economic Geology*. Vol. 82, 1987, pp. 1521-1539
- Huston, D. L. and Large, R. R., 1989- A chemical model for the concentration of gold in volcanogenic massive sulfide deposits. *Ore Geol. Rev.* 4: 171-200.
- Huston, D., Bottrill, R.S., Creelman, R., Khin Zaw, Ramsden, T., Rand, S., Gemmell, J.B., Bruce, L., Sie, S.H. and Large, R.R., 1992- Geologic and Geochemical Controls on the Mineralogy and Grain Size of Gold-Bearing Phases, Eastern Australian Volcanic Hosted Massive Sulfide Deposits. *Econ. Geol.* 87: 542-563.
- Huston, D. L., 2000- Gold in volcanic-hosted massive sulfide deposits; distribution, genesis, and exploration, in Hagemann, S.G. ed., *Gold in 2000: Reviews in Economic Geology*, vol. 13, p. 401-426.
- Irvine, T. N., Baragar,W. R., 1971- A guide to the chemical classification of the commonvolcanic rocks. *Can. J. Earth Sci.* 8, 523–546.
- Keppler, H., 1996. Constraints from partitioning experiments on the composition of the subduction zone fluids. *Nature* 380, 237–240.
- Large, R. R., Huston, D. L., McGoldrick, P. J. and Ruxton, P. A., 1989- Gold distribution and genesis in Australian volcanogenic massive sulfide deposits and their significance for gold transport models. *Econ. Geol. Mon*(6). P. 520-536.
- Large, R. R., McPhie, J., Gemmell, J. B. and Davidson, G., 2001- The Spectrum of Ore Deposits Types, Volcanic Environment, Alteration Halos, and Related Exploration Vectors in Submarine Volcanic Succession: Some Example From Australia. *Econ. Geol.* 96: 913-938.
- LeBas, M. J., Le Maitre, R. W., Streckeisen, A., Zanettin, B.,1986- A chemical classification of volcanic rocks on the total alkali-silica diagram. *J. Petrol.* 27, 745–750.
- Marquis, P., Hubert, C., Brow, A. C. and Rigg, D. M., 1990a- Overprinting of early, redistributed Fe and Pb-Zn mineralization by latestage Au-Ag-Cu deposition at the Dumagami mine, Bousquet district, Abitibi, Quebec: *Canadian Journal of Earth Sciences*, v. 27, p. 1651-1671.
- Marquis, P., Hubert, C., Brown, A. C. and Rigg, D.M., 1990b- An evaluation of genetic models for gold deposits of the Bousquet district, Quebec, based on their mineralogic, geochemical, and structural characteristics: *Canadian Institute of Mining and metallurgy, Special Volume* 43, p. 383-399.
- Marquis, P., Brown, A. C., Hubert, C. and Rigg, D. M., 1990c- Progressive alteration associated with auriferous massive sulfide bodies at the Dumagami Mine, Abitibi greenstone belt, Quebec: *Economic Geology*, vol. 85, p. 746-764.
- McDonough, W. F., Sun, S. S., Ringwood, A. E., Jagoutz, E., Hofmann, A.W., 1992- Potassium, Rubidium, and Caesium in the Earth and Moon and the evolution of the mantle of the Earth. *Geochim. Cosmochim. Acta* 56, 1001–1012.
- McDonough,W. F., Sun, S. S., 1995- Composition of the Earth. *Chem. Geol.* 120,223–253.
- Mohajjel, M., Ferguson, C. L., Sahandi, M. R., 2003- Cretaceous-Tertiary convergence and continental collision, Sanandaj-Sirjan Zone, western Iran. *J. Asian Earth Sci.* 21, 397–412
- Nakamura, N., 1974- Determination of REE, Ba, Fe,Mg, Na and K in carbonaceous and ordinary chondrites. *Geochim. Cosmochim. Acta* 38, 757–775.

- Ohomot, H., Mizukami, M., Drummond, S.E., Eldridge, C.S., Pisutha – Arnond, V. and Lenagh, T.C., 1983- Chemical processes of Kuroko formation. *Economic Geology*, Monogr.5: 570-604.
- Ohmoto, H., 1996- Formation of volcanogenic massive sulfide deposits: the Kuroko perspective. *Ore geology reviews*, 10:135-177.
- Pearce, J.A., Cann, J.R., 1973-Tectonic setting of basic volcanic rocks determined using trace element analyses. *Earth Planet. Sci. Lett.* 19: 209-300.
- Pearce, J. A., 1983- The role of subcontinental lithosphere in magma genesis at destructive plate margins. In *Continental basalts and mantle xenoliths*, C.J. Hawkesworth & M.J. Norry (eds.). 230-249
- Poulsen, K.H. and Hannington, M.D., 1996- Volcanic-associated massive sulphide gold, in Eckstrand, O.R., Sinclair, W.D., and Thorpe, R.I., eds., *Geology of Canadian mineral deposit types: Geology of Canada*, vol.8, p. 183-196
- Pearce, J.A., Baker, P.E., Harvey, P.K., Luff, L.W., 1995- Geochemical evidence for subduction Fluxes, mantle melting and fractional crystallization beneath the South Sandwich Island arc. *J. Petrol.* 36, 1073–1109.
- Robert, F., Brommecker, R., Bourne, B. T., Dobak, P. J., McEwan, C. J., Rowe, R. R., Zhou, X., 2007- Models and exploration methods for major gold deposit types: exploration 07. Fifth Decennial International Conference on Mineral Exploration, Toronto, , Proceedings, pp. 691–
- Rudnick, R. L., Fountain, D. M., 1995- Nature and composition of the continental crust: a lower crustal perspective. *Rev. Geophys.* 32, 267–309.
- Sillitoe, R.H., Hannington, M. D. and Thompson, J. F. H., 1996- High-sulfidation deposits in the volcanogenic massive sulfide environment: *Economic Geology*, v. 91, p. 204-212.
- Sun, S. S., 1980- Lead isotope study of young volcanic rocks from mid-ocean ridges, ocean islands and island arcs. *Hilo. Trans. R. Soc. London*, Ser. 297: 409-445.
- Sun, S. S., McDonough, W. F., 1989- Chemical and isotopic systematic of oceanic basalts: implication for mantle composition and processes. In: Saunders, A. D., Norry, M. J. (Eds.), *Magmatic in Oceanic Basins*, Special Publication. *Geology Society of London* 42, 313–345.
- Taylor, S. R., McLennan, S. M., 1985- The Continental Crust: its Composition and Evolution. Blackwell, Cambridge, p. 312.
- Tourigny, G., Brown, A. C., Hubert, C. and Crépeau, R., 1989- Synvolcanic and syntectonic gold mineralization at the Bousquet Mine, Abitibi greenstone belt: *Economic Geology*, v. 84, p. 1875-1890.
- Tourigny, G., Brown, A.C., Hubert, C. and Crépeau, R., 1990- Syn-volcanic and syn-tectonic gold mineralization at the Bousquet Mine, Abitibi greenstone belt, Quebec: *Economic Geology*, v. 85, p. 1875-1890.
- Tourigny, G., Doucet, D. and Bourget, A., 1993- Geology of the Bousquet 2 mine: An example of a deformed, gold-bearing, polymetallic sulfide deposit: *Economic Geology*, v. 88, p. 1578-1597.
- Valliant, R. I. and Barnett, R. L., 1982- Manganiferous garnet underlying the Bousquet gold orebody, Quebec: metamorphosed manganese sediment as a guide to gold ore: *Canadian Journal of Earth Sciences*, v. 19, p. 993- 1010.
- Winchester, J. A. & Floyd, P. A., 1977- Geochemical discrimination of different magma series and their differentiation products using immobile elements. *Chemical Geology* 20, 325–343.
- Yang, K. and Scott, S. D., 2003- Geochemical relations of felsic magmas to ore metals in massive sulfide deposits of the Bathurst Mining Camp, Iberian Pyrite Belt, Hokuroku District and Abitibi Belt: *Economic Geology Monograph* 11, p. 457-478
- Yeats, C. J. and Groves, D. I., 1998- The Archean Mount Gibson gold deposits, Yilgarn craton, Western Australia: Products of combined syn-volcanic and syntectonic alteration and mineralisation: *Ore Geology Reviews*, v. 13, p. 103-129.

Petrogenesis Geochemistry and Role of Deformation on Ore Elements Distribution of Barika Gold-Rich Massive Sulfide Deposit, East of Sardasht, Northwest of Sanandaj – Sirjan Zone

H. A. Tajeddin¹, E. Rastad^{1*}, A. Yaghoubpour² and M. Mohajjal¹

¹Department of Geology, Faculty of Basic Science, Tarbiat Modarres University, Tehran, Iran.

²Department of Geology, Tarbiat Moallem University, Tehran, Iran.

Received: 2010 January 16 Accepted: 2010 September 28

Abstract

Barika deposit is the first and only recognized gold (and silver) rich – massive sulfide deposit in Iran which is located at 18 km east of Sardasht city, north western part of Sanandaj-Sirjan metamorphic zone. Rock units outcropped in this area are volcano sedimentary metamorphosed rocks in green schist facies, and include association of metaandesite, metatuffite, phyllite and slate rocks, among which the metaandesitic unit (KMv1) is host rock of the deposit. Ore mineral assemblages in stratiform part of the deposit, which contain massive and banded pyrite and barite associated with subordinary silica bands, are very variable in composition and consist of pyrite, sphalerite, galena, stibnite and a variety of sulfosalt minerals and electrum. Ore mineral assemblage in silicic veins in stringer zone, are simpler and consist of pyrite, galena, sphalerite, tetrahedrite and rare chalcopyrite. Average gold and silver grades in stratiform ore are 4.2 and 260 g/t respectively and in silica stringer veins are 0.7 and 30 g/t. Base metal content in both part of the deposit is less than 1%. Lithotectonic study and trace and rare earth elements diagrams associated with Ce/Pb and Nb/U ratios of the metavolcanic rocks in the deposit area indicate that the rocks were generated from a lithospheric mantle source in the active continental margin of the SSZ. A geochemical study of Barika deposit reveals that distribution patterns and correlation coefficient of ore elements in parts of the Barika stratiform ore and stringer zone are completely in correlation with an undeformed massive sulfide deposit. The geochemical documents indicate that despite the metamorphism and highly deformation on the deposit, the primary distribution patterns and proportion of the ore elements are well conserved, as geochemical characteristics of the Barika deformed deposit is as well as correlated with an undeformed gold- rich volcanogenic massive sulfide deposit. However there is clear textural evidence for remobilization of As, Sb, Ag and Pb minerals together with Au in Barika deposit, but, remobilized constituents of the ores do not appear to have moved beyond the margins of the ore bodies and primary metal zonation.

Keywords: Petrogenesis, Geochemistry, Gold- rich massive sulfide deposit, Kuroko type black ore, Metamorphism, Deformation, Barika, Sanandaj – Sirjan Zone.

For Persian Version see pages 141 to 156

*Corresponding author: E. Rastad; Email: rastad@modares.ac.ir

Biostratigraphy of Oligocene and Lower Miocene Sediments (Pabdeh, Asmari, Gachsaran and Mishan Formations) on the basis of Foraminifera in Southwest Jahrum, Interior Fars

J. Daneshian^{1*}, N. Norouzi², D. Baghbani³, S.A. Aghanabati⁴

¹ Department of Geology, Kharazmi University, Tehran, Iran

² Department of Geology, Islamic Azad University, Science and Research Branch, Tehran, Iran

³ Surface Geology, NIOC Exploration Directorate, Geology Department, Tehran, Iran

⁴ Geological Survey of Iran, Tehran, Iran

Received: 2010 September 21 Accepted: 2011 January 22

Abstract

Oligocene-Lower Miocene sediments at Nareh section, situated in SW Jahrum consist of limestone, argillaceous limestone, marl and evaporatic sediments with a rich association of planktonic and benthonic foraminifera. In lower part of this succession, the Pabdeh Formation with a thickness of 115m is composed of shale, marl and intercalations of argillaceous limestone. The mentioned sediments continue through Late